

Supplementary file

Table S1. Radiomics features' name, set, and family extracted in this study

Set	Type	Name
Original	shape	Maximum3DDiameter
Original	shape	Maximum2DDiameterSlice
Original	shape	Sphericity
Original	shape	MinorAxis
Original	shape	Elongation
Original	shape	SurfaceVolumeRatio
Original	shape	Volume
Original	shape	MajorAxis
Original	shape	SurfaceArea
Original	shape	Flatness
Original	shape	LeastAxis
Original	shape	Maximum2DDiameterColumn
Original	shape	Maximum2DDiameterRow
Original	gldm	DependenceEntropy
Original	gldm	DependenceNonUniformity
Original	gldm	GrayLevelNonUniformity
Original	gldm	SmallDependenceEmphasis
Original	gldm	SmallDependenceHighGrayLevelEmphasis
Original	gldm	DependenceNonUniformityNormalized
Original	gldm	LargeDependenceEmphasis
Original	gldm	LargeDependenceLowGrayLevelEmphasis
Original	gldm	DependenceVariance
Original	gldm	LargeDependenceHighGrayLevelEmphasis
Original	gldm	SmallDependenceLowGrayLevelEmphasis
Original	firstorder	InterquartileRange
Original	firstorder	Skewness
Original	firstorder	Median
Original	firstorder	Energy
Original	firstorder	RobustMeanAbsoluteDeviation
Original	firstorder	MeanAbsoluteDeviation
Original	firstorder	TotalEnergy
Original	firstorder	Maximum
Original	firstorder	RootMeanSquared

Original	firstorder	90Percentile
Original	firstorder	Minimum
Original	firstorder	Range
Original	firstorder	Variance
Original	firstorder	10Percentile
Original	firstorder	Kurtosis
Original	firstorder	Mean
Original	glrlm	ShortRunLowGrayLevelEmphasis
Original	glrlm	RunVariance
Original	glrlm	GrayLevelNonUniformity
Original	glrlm	LongRunEmphasis
Original	glrlm	ShortRunHighGrayLevelEmphasis
Original	glrlm	RunLengthNonUniformity
Original	glrlm	ShortRunEmphasis
Original	glrlm	LongRunHighGrayLevelEmphasis
Original	glrlm	RunPercentage
Original	glrlm	LongRunLowGrayLevelEmphasis
Original	glrlm	RunEntropy
Original	glrlm	RunLengthNonUniformityNormalized
Original	glszm	LargeAreaEmphasis
Original	glszm	SmallAreaHighGrayLevelEmphasis
Original	glszm	ZonePercentage
Original	glszm	LargeAreaLowGrayLevelEmphasis
Original	glszm	LargeAreaHighGrayLevelEmphasis
Original	glszm	SmallAreaEmphasis
Original	glszm	SmallAreaLowGrayLevelEmphasis

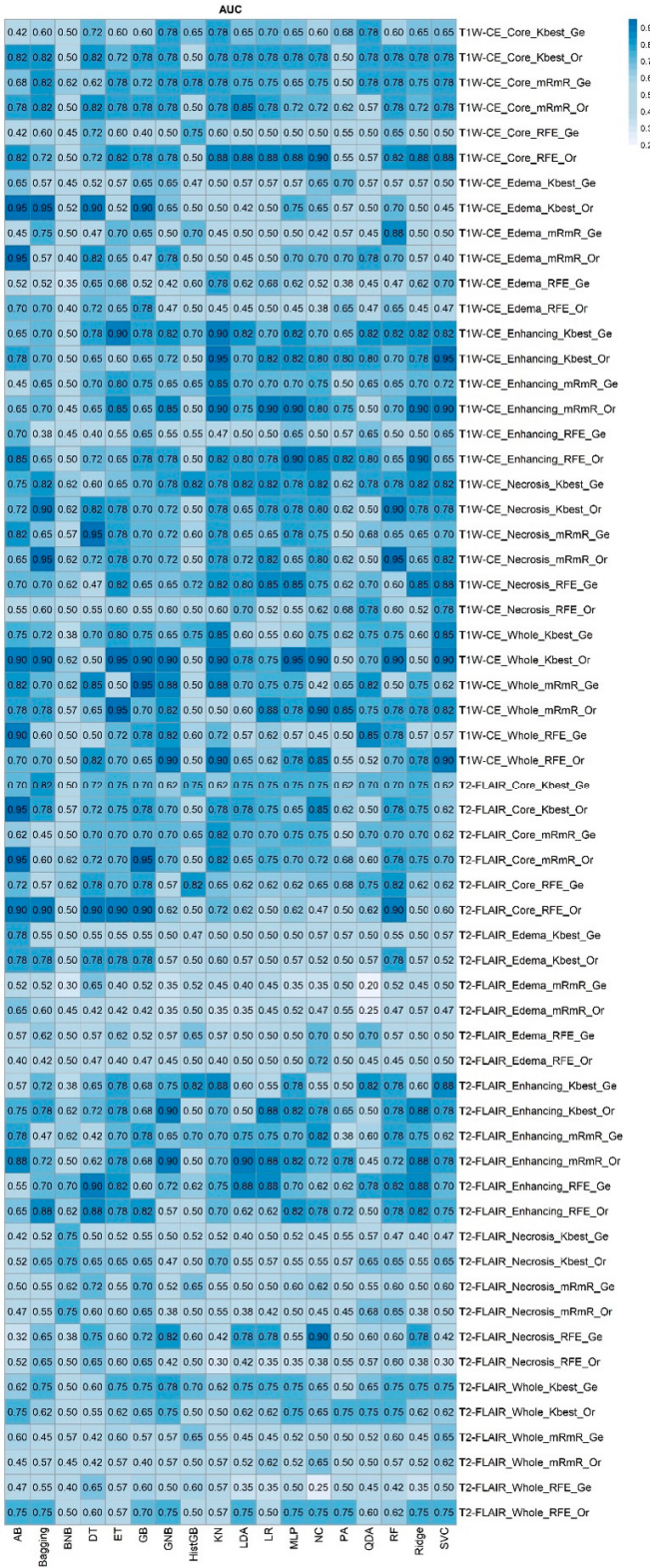
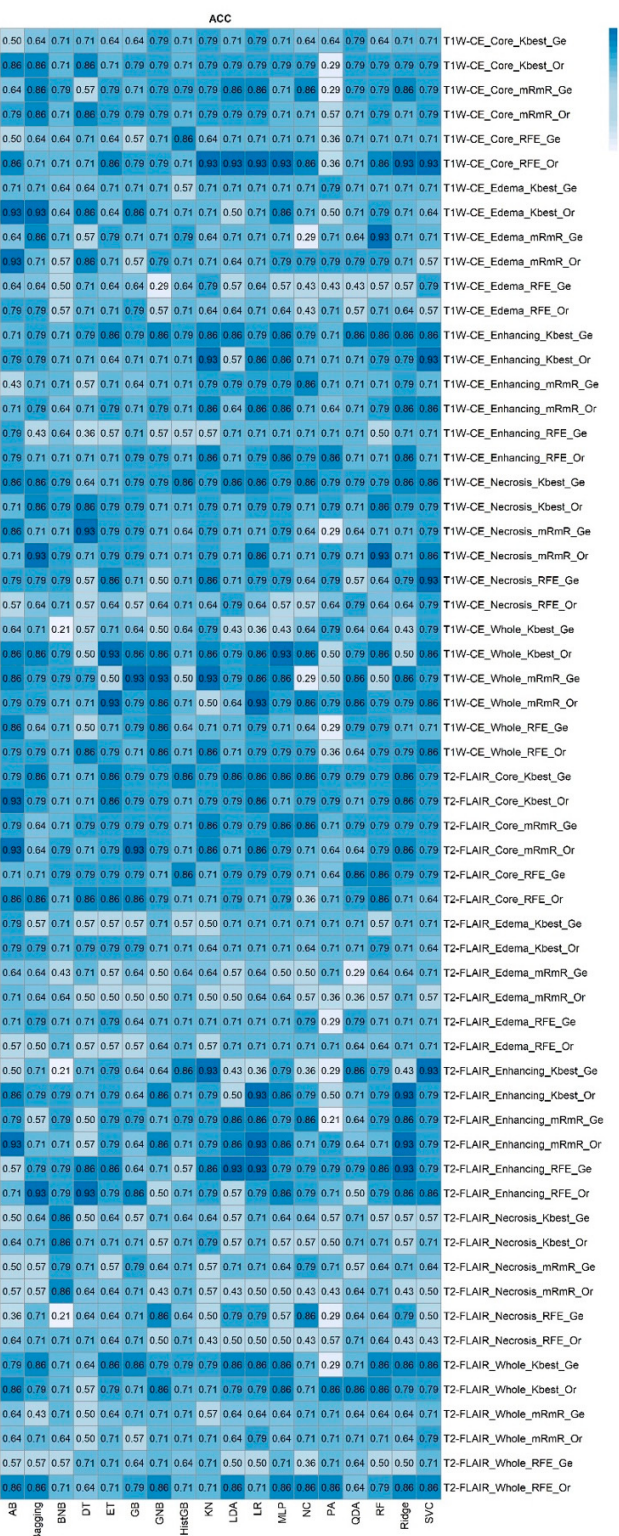


Figure S1. The area under the curve of AUC (predictive power) heatmap for differentiating IDH-mutant from IDH wild-type grade-4 astrocytomas employing a variety of feature selections and machine learning classifiers applied to distinct neoplasm subregions

Figure S2. Accuracy (ACC) heatmap for differentiating IDH-mutant from IDH wild-type grade- 4 astrocytomas employing a variety of feature selections and machine learning classifiers applied to distinct neoplasm subregions.



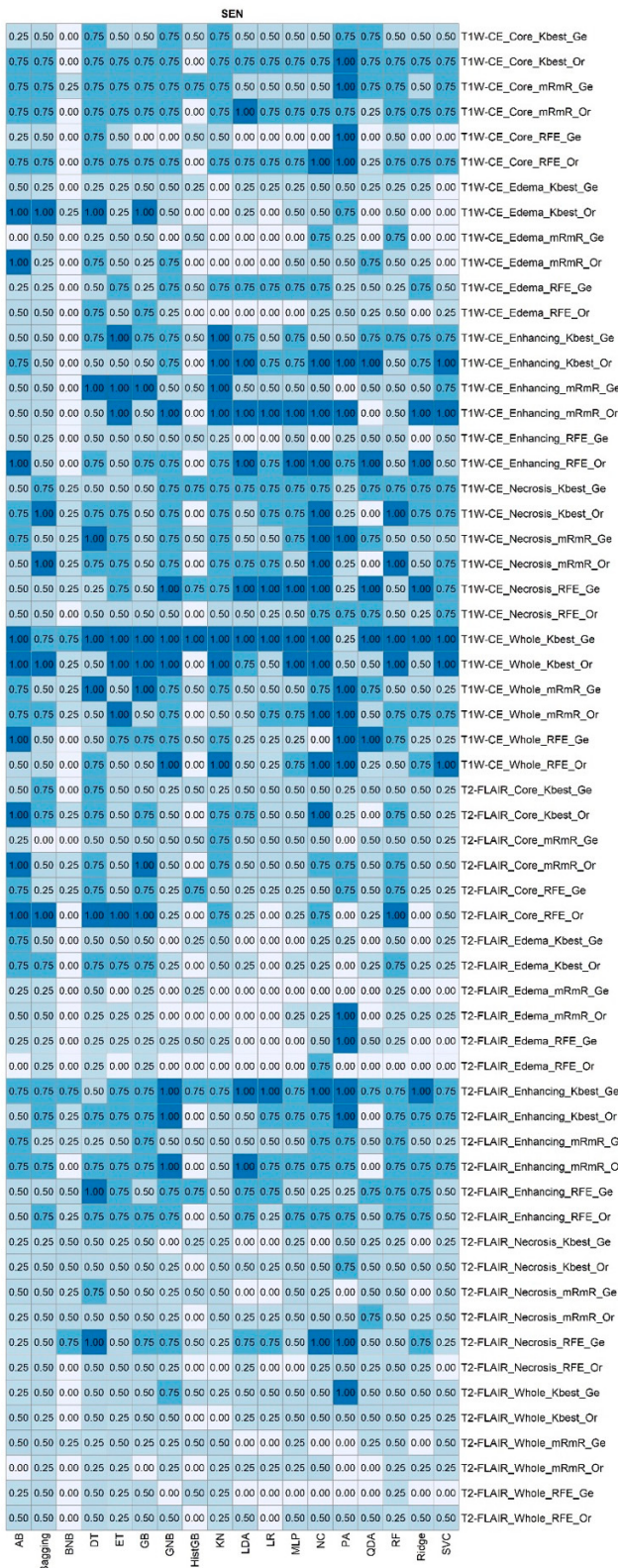


Figure S3. Sensitivity (SEN) heatmap for differentiating IDH-mutant from IDH wild-type grade- 4 astrocytomas employing a variety of feature selections and machine learning classifiers applied to distinct neoplasm.

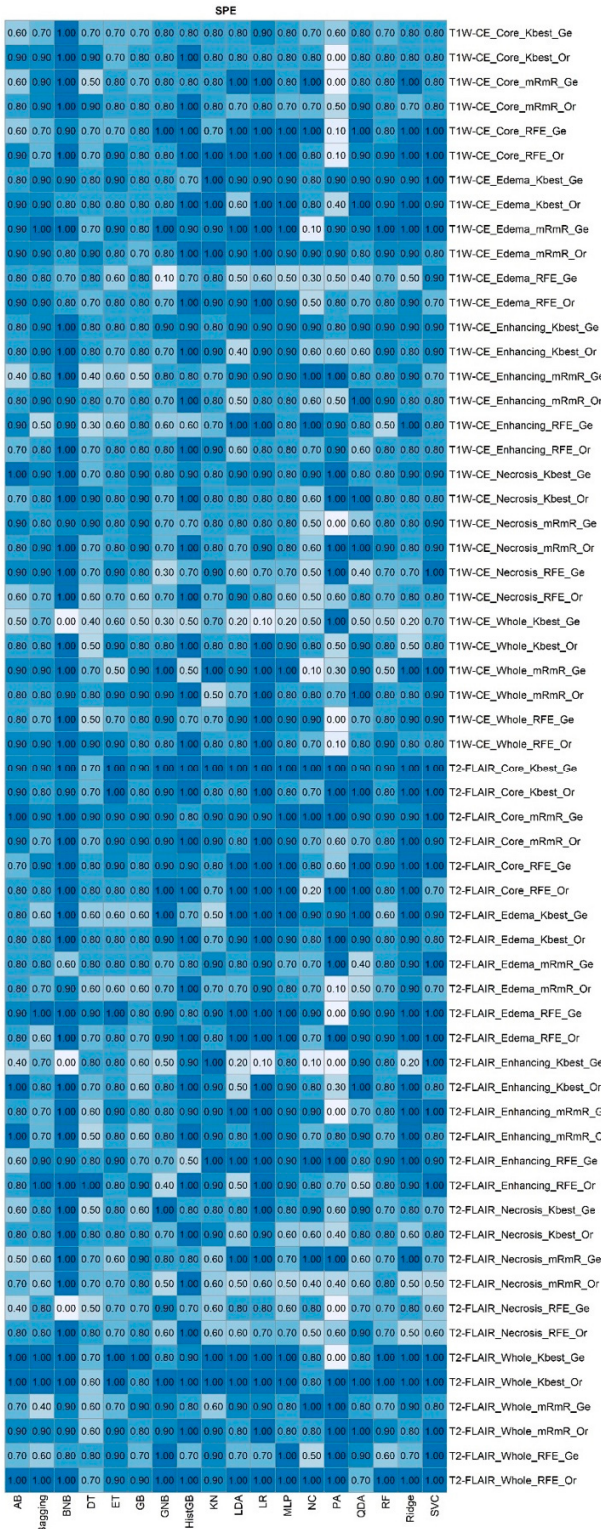


Figure S4. Specificity (SPE) heatmap for differentiating IDH-mutant from IDH wild-type grade-4 astrocytomas employing a variety of feature selections and machine learning classifiers applied to distinct neoplasm.

Data splitting:

Original data: ['IDH_Mutant_1', 'IDH_Mutant_2', 'IDH_Mutant_3', 'IDH_Mutant_4', 'IDH_Mutant_5', 'IDH_Mutant_6', 'IDH_Mutant_7', 'IDH_Mutant_8', 'IDH_Mutant_9', 'IDH_Mutant_10', 'IDH_Mutant_11', 'IDH_Mutant_12', 'IDH_Mutant_13', 'IDH_Mutant_14', 'IDH_Mutant_15', 'IDH_Mutant_16', 'IDH_Mutant_17', 'IDH_Mutant_18', 'IDH_Mutant_19', 'IDH_Mutant_20', 'IDH_Mutant_21', 'IDH_Mutant_22', 'IDH_Mutant_23', 'IDH_Wild_type_1', 'IDH_Wild_type_2', 'IDH_Wild_type_3', 'IDH_Wild_type_4', 'IDH_Wild_type_5', 'IDH_Wild_type_6', 'IDH_Wild_type_7', 'IDH_Wild_type_8', 'IDH_Wild_type_9', 'IDH_Wild_type_10', 'IDH_Wild_type_11', 'IDH_Wild_type_12', 'IDH_Wild_type_13', 'IDH_Wild_type_14', 'IDH_Wild_type_15', 'IDH_Wild_type_16', 'IDH_Wild_type_17', 'IDH_Wild_type_18', 'IDH_Wild_type_19', 'IDH_Wild_type_20', 'IDH_Wild_type_21', 'IDH_Wild_type_22', 'IDH_Wild_type_23', 'IDH_Wild_type_24', 'IDH_Wild_type_25', 'IDH_Wild_type_26', 'IDH_Wild_type_27', 'IDH_Wild_type_28', 'IDH_Wild_type_29', 'IDH_Wild_type_30', 'IDH_Wild_type_31', 'IDH_Wild_type_32', 'IDH_Wild_type_33', 'IDH_Wild_type_34']

Training set: ['IDH_Mutant_3', 'IDH_Mutant_23', 'IDH_Mutant_19', 'IDH_Wild_type_7', 'IDH_Wild_type_9', 'IDH_Mutant_5', 'IDH_Wild_type_1', 'IDH_Mutant_13', 'IDH_Wild_type_32', 'IDH_Wild_type_17', 'IDH_Wild_type_26', 'IDH_Wild_type_2', 'IDH_Wild_type_34', 'IDH_Wild_type_22', 'IDH_Wild_type_33', 'IDH_Wild_type_30', 'IDH_Wild_type_10', 'IDH_Mutant_14', 'IDH_Wild_type_16', 'IDH_Mutant_10', 'IDH_Wild_type_29', 'IDH_Wild_type_18', 'IDH_Mutant_1', 'IDH_Mutant_20', 'IDH_Wild_type_15', 'IDH_Wild_type_23', 'IDH_Wild_type_8', 'IDH_Mutant_21', 'IDH_Wild_type_6', 'IDH_Wild_type_4', 'IDH_Mutant_18', 'IDH_Mutant_15', 'IDH_Wild_type_12', 'IDH_Mutant_11', 'IDH_Mutant_16', 'IDH_Mutant_8', 'IDH_Wild_type_11', 'IDH_Wild_type_28', 'IDH_Mutant_2', 'IDH_Wild_type_13', 'IDH_Mutant_6', 'IDH_Wild_type_21', 'IDH_Wild_type_31', 'IDH_Wild_type_20', 'IDH_Mutant_9', 'IDH_Mutant_22']

Testing set: ['IDH_Mutant_4', 'IDH_Mutant_7', 'IDH_Mutant_12', 'IDH_Mutant_17', 'IDH_Wild_type_3', 'IDH_Wild_type_5', 'IDH_Wild_type_14', 'IDH_Wild_type_19', 'IDH_Wild_type_24', 'IDH_Wild_type_25', 'IDH_Wild_type_27']

Table S2. The complete result of multi-machine learning algorithms, feature selection, and multi-segmentation approaches in discriminating IDH-mutant grade-4 astrocytomas from IDH wild-type GBMs of generated data with 80:20 training:testing set.

Approach	ML	AUC	ACC	SEN	SPE	PR_AUC
T1w_CE_Core_Kbest	GNB	0.92857143	0.91666667	1	0.85714286	0.91666667
T1w_CE_Core_RFE	PA	0.92857143	0.91666667	1	0.85714286	0.91666667
T1w_CE_Enhancing_mRmR	HGB	0.92857143	0.91666667	1	0.85714286	0.91666667
T2w_Flair_Core_RFE	KN	0.92857143	0.91666667	1	0.85714286	0.91666667
T2w_Flair_Enhancing_Kbest	Bagging	0.92857143	0.91666667	1	0.85714286	0.91666667
T2w_Flair_Enhancing_Kbest	DT	0.92857143	0.91666667	1	0.85714286	0.91666667
T2w_Flair_Enhancing_Kbest	KN	0.92857143	0.91666667	1	0.85714286	0.91666667
T1w_CE_Core_Kbest	Bagging	0.9	0.91666667	0.8	1	0.94166667
T1w_CE_Core_Kbest	GB	0.9	0.91666667	0.8	1	0.94166667
T1w_CE_Core_Kbest	HGB	0.9	0.91666667	0.8	1	0.94166667
T1w_CE_Core_Kbest	RF	0.9	0.91666667	0.8	1	0.94166667

T1w_CE_Core_RFE	RF	0.9	0.91666667	0.8	1	0.94166667
T1w_CE_Edema_Kbest	GNB	0.9	0.91666667	0.8	1	0.94166667
T1w_CE_Edema_Kbest	MLPC	0.9	0.91666667	0.8	1	0.94166667
T1w_CE_Edema_Kbest	NC	0.9	0.91666667	0.8	1	0.94166667
T1w_CE_Edema_Kbest	PA	0.9	0.91666667	0.8	1	0.94166667
T1w_CE_Edema_Kbest	QDA	0.9	0.91666667	0.8	1	0.94166667
T1w_CE_Edema_Kbest	SVC	0.9	0.91666667	0.8	1	0.94166667
T1w_CE_Edema_RFE	NC	0.9	0.91666667	0.8	1	0.94166667
T1w_CE_Enhancing_Kbest	QDA	0.9	0.91666667	0.8	1	0.94166667
T1w_CE_Enhancing_mRmR	NC	0.9	0.91666667	0.8	1	0.94166667
T1w_CE_Enhancing_mRmR	SVC	0.9	0.91666667	0.8	1	0.94166667
T1w_CE_Enhancing_RFE	ET	0.9	0.91666667	0.8	1	0.94166667
T1w_CE_Enhancing_RFE	GB	0.9	0.91666667	0.8	1	0.94166667
T1w_CE_Enhancing_RFE	KN	0.9	0.91666667	0.8	1	0.94166667
T1w_CE_Enhancing_RFE	RF	0.9	0.91666667	0.8	1	0.94166667
T1w_CE_Enhancing_RFE	SVC	0.9	0.91666667	0.8	1	0.94166667
T1w_CE_Whole_Kbest	ET	0.9	0.91666667	0.8	1	0.94166667
T1w_CE_Whole_Kbest	GB	0.9	0.91666667	0.8	1	0.94166667
T1w_CE_Whole_Kbest	HGB	0.9	0.91666667	0.8	1	0.94166667
T1w_CE_Whole_Kbest	SVC	0.9	0.91666667	0.8	1	0.94166667
T2w_Flair_Whole_Kbest	AB	0.9	0.91666667	0.8	1	0.94166667
T1w_CE_Core_Kbest	LDA	0.85714286	0.83333333	1	0.71428571	0.85714286
T1w_CE_Core_Kbest	LR	0.85714286	0.83333333	1	0.71428571	0.85714286
T1w_CE_Core_Kbest	MLPC	0.85714286	0.83333333	1	0.71428571	0.85714286
T1w_CE_Core_Kbest	NC	0.85714286	0.83333333	1	0.71428571	0.85714286
T1w_CE_Core_Kbest	Ridge	0.85714286	0.83333333	1	0.71428571	0.85714286
T1w_CE_Enhancing_Kbest	PA	0.85714286	0.83333333	1	0.71428571	0.85714286
T1w_CE_Enhancing_mRmR	AB	0.85714286	0.83333333	1	0.71428571	0.85714286
T1w_CE_Necrosis_Kbest	NC	0.85714286	0.83333333	1	0.71428571	0.85714286
T2w_Flair_Core_RFE	HGB	0.85714286	0.83333333	1	0.71428571	0.85714286
T2w_Flair_Enhancing_Kbest	GB	0.85714286	0.83333333	1	0.71428571	0.85714286
T1w_CE_Core_Kbest	AB	0.82857143	0.83333333	0.8	0.85714286	0.84166667
T1w_CE_Core_mRmR	GB	0.82857143	0.83333333	0.8	0.85714286	0.84166667
T1w_CE_Core_mRmR	SVC	0.82857143	0.83333333	0.8	0.85714286	0.84166667
T1w_CE_Enhancing_mRmR	PA	0.82857143	0.83333333	0.8	0.85714286	0.84166667
T1w_CE_Enhancing_RFE	Bagging	0.82857143	0.83333333	0.8	0.85714286	0.84166667
T1w_CE_Enhancing_RFE	DT	0.82857143	0.83333333	0.8	0.85714286	0.84166667
T1w_CE_Enhancing_RFE	HGB	0.82857143	0.83333333	0.8	0.85714286	0.84166667
T1w_CE_Whole_Kbest	KN	0.82857143	0.83333333	0.8	0.85714286	0.84166667
T1w_CE_Whole_Kbest	NC	0.82857143	0.83333333	0.8	0.85714286	0.84166667

T1w_CE_Whole_RFE	RF	0.82857143	0.83333333	0.8	0.85714286	0.84166667
T2w_Flair_Core_Kbest	NC	0.82857143	0.83333333	0.8	0.85714286	0.84166667
T2w_Flair_Core_mRmR	Bagging	0.82857143	0.83333333	0.8	0.85714286	0.84166667
T2w_Flair_Core_mRmR	ET	0.82857143	0.83333333	0.8	0.85714286	0.84166667
T2w_Flair_Core_mRmR	GB	0.82857143	0.83333333	0.8	0.85714286	0.84166667
T2w_Flair_Core_mRmR	HGB	0.82857143	0.83333333	0.8	0.85714286	0.84166667
T2w_Flair_Core_mRmR	KN	0.82857143	0.83333333	0.8	0.85714286	0.84166667
T2w_Flair_Core_mRmR	QDA	0.82857143	0.83333333	0.8	0.85714286	0.84166667
T2w_Flair_Core_mRmR	RF	0.82857143	0.83333333	0.8	0.85714286	0.84166667
T2w_Flair_Core_mRmR	SVC	0.82857143	0.83333333	0.8	0.85714286	0.84166667
T2w_Flair_Core_RFE	GNB	0.82857143	0.83333333	0.8	0.85714286	0.84166667
T2w_Flair_Core_RFE	LDA	0.82857143	0.83333333	0.8	0.85714286	0.84166667
T2w_Flair_Core_RFE	MLPC	0.82857143	0.83333333	0.8	0.85714286	0.84166667
T2w_Flair_Core_RFE	QDA	0.82857143	0.83333333	0.8	0.85714286	0.84166667
T2w_Flair_Core_RFE	SVC	0.82857143	0.83333333	0.8	0.85714286	0.84166667
T2w_Flair_Enhancing_Kbest	ET	0.82857143	0.83333333	0.8	0.85714286	0.84166667
T2w_Flair_Enhancing_Kbest	HGB	0.82857143	0.83333333	0.8	0.85714286	0.84166667
T2w_Flair_Enhancing_Kbest	RF	0.82857143	0.83333333	0.8	0.85714286	0.84166667
T2w_Flair_Enhancing_Kbest	HGB	0.82857143	0.83333333	0.8	0.85714286	0.84166667
T2w_Flair_Enhancing_Kbest	NC	0.82857143	0.83333333	0.8	0.85714286	0.84166667
T2w_Flair_Enhancing_mRmR	ET	0.82857143	0.83333333	0.8	0.85714286	0.84166667
T2w_Flair_Enhancing_mRmR	RF	0.82857143	0.83333333	0.8	0.85714286	0.84166667
T2w_Flair_Enhancing_mRmR	AB	0.82857143	0.83333333	0.8	0.85714286	0.84166667
T2w_Flair_Enhancing_mRmR	SVC	0.82857143	0.83333333	0.8	0.85714286	0.84166667
T2w_Flair_Enhancing_RFE	NC	0.82857143	0.83333333	0.8	0.85714286	0.84166667
T2w_Flair_Necrosis_Kbest	AB	0.82857143	0.83333333	0.8	0.85714286	0.84166667
T1w_CE_Core_Kbest	DT	0.8	0.83333333	0.6	1	0.88333333
T1w_CE_Core_RFE	AB	0.8	0.83333333	0.6	1	0.88333333
T1w_CE_Core_RFE	ET	0.8	0.83333333	0.6	1	0.88333333
T1w_CE_Core_RFE	HGB	0.8	0.83333333	0.6	1	0.88333333
T1w_CE_Core_RFE	KN	0.8	0.83333333	0.6	1	0.88333333
T1w_CE_Edema_mRmR	QDA	0.8	0.83333333	0.6	1	0.88333333
T1w_CE_Enhancing_Kbest	ET	0.8	0.83333333	0.6	1	0.88333333
T1w_CE_Enhancing_Kbest	GNB	0.8	0.83333333	0.6	1	0.88333333
T1w_CE_Enhancing_Kbest	GB	0.8	0.83333333	0.6	1	0.88333333
T1w_CE_Enhancing_Kbest	HGB	0.8	0.83333333	0.6	1	0.88333333
T1w_CE_Enhancing_Kbest	RF	0.8	0.83333333	0.6	1	0.88333333
T1w_CE_Enhancing_mRmR	DT	0.8	0.83333333	0.6	1	0.88333333
T1w_CE_Enhancing_mRmR	ET	0.8	0.83333333	0.6	1	0.88333333
T1w_CE_Enhancing_mRmR	RF	0.8	0.83333333	0.6	1	0.88333333

T1w_CE_Enhancing_RFE	MLPC	0.8	0.83333333	0.6	1	0.88333333
T1w_CE_Enhancing_RFE	QDA	0.8	0.83333333	0.6	1	0.88333333
T1w_CE_Whole_Kbest	DT	0.8	0.83333333	0.6	1	0.88333333
T1w_CE_Whole_Kbest	MLPC	0.8	0.83333333	0.6	1	0.88333333
T1w_CE_Whole_Kbest	RF	0.8	0.83333333	0.6	1	0.88333333
T1w_CE_Whole_RFE	DT	0.8	0.83333333	0.6	1	0.88333333
T2w_Flair_Core_mRmR	AB	0.8	0.83333333	0.6	1	0.88333333
T2w_Flair_Enhancing_Kbest	SVC	0.8	0.83333333	0.6	1	0.88333333
T2w_Flair_Enhancing_RFE	GB	0.8	0.83333333	0.6	1	0.88333333
T2w_Flair_Enhancing_RFE	KN	0.8	0.83333333	0.6	1	0.88333333
T2w_Flair_Enhancing_RFE	RF	0.8	0.83333333	0.6	1	0.88333333
T2w_Flair_Whole_Kbest	Bagging	0.8	0.83333333	0.6	1	0.88333333
T2w_Flair_Whole_Kbest	ET	0.8	0.83333333	0.6	1	0.88333333
T2w_Flair_Whole_Kbest	GB	0.8	0.83333333	0.6	1	0.88333333
T2w_Flair_Whole_Kbest	KN	0.8	0.83333333	0.6	1	0.88333333
T2w_Flair_Whole_Kbest	RF	0.8	0.83333333	0.6	1	0.88333333
T2w_Flair_Whole_mRmR	ET	0.8	0.83333333	0.6	1	0.88333333
T2w_Flair_Whole_mRmR	KN	0.8	0.83333333	0.6	1	0.88333333
T2w_Flair_Whole_mRmR	RF	0.8	0.83333333	0.6	1	0.88333333
T2w_Flair_Whole_RFE	GB	0.8	0.83333333	0.6	1	0.88333333
T1w_CE_Edema_Kbest	AB	0.78571429	0.75	1	0.57142857	0.8125
T1w_CE_Enhancing_RFE	AB	0.78571429	0.75	1	0.57142857	0.8125
T1w_CE_Core_mRmR	MLPC	0.75714286	0.75	0.8	0.71428571	0.775
T1w_CE_Core_mRmR	QDA	0.75714286	0.75	0.8	0.71428571	0.775
T1w_CE_Enhancing_mRmR	GB	0.75714286	0.75	0.8	0.71428571	0.775
T1w_CE_Necrosis_Kbest	AB	0.75714286	0.75	0.8	0.71428571	0.775
T1w_CE_Necrosis_RFE	SVC	0.75714286	0.75	0.8	0.71428571	0.775
T1w_CE_Whole_RFE	ET	0.75714286	0.75	0.8	0.71428571	0.775
T1w_CE_Whole_RFE	HGB	0.75714286	0.75	0.8	0.71428571	0.775
T2w_Flair_Core_RFE	AB	0.75714286	0.75	0.8	0.71428571	0.775
T2w_Flair_Enhancing_mRmR	Bagging	0.75714286	0.75	0.8	0.71428571	0.775
T2w_Flair_Enhancing_mRmR	GB	0.75714286	0.75	0.8	0.71428571	0.775
T1w_CE_Core_mRmR	Bagging	0.72857143	0.75	0.6	0.85714286	0.75833333
T1w_CE_Core_mRmR	GNB	0.72857143	0.75	0.6	0.85714286	0.75833333
T1w_CE_Necrosis_Kbest	SVC	0.72857143	0.75	0.6	0.85714286	0.75833333
T1w_CE_Necrosis_mRmR	KN	0.72857143	0.75	0.6	0.85714286	0.75833333
T1w_CE_Necrosis_mRmR	LDA	0.72857143	0.75	0.6	0.85714286	0.75833333
T1w_CE_Necrosis_mRmR	LR	0.72857143	0.75	0.6	0.85714286	0.75833333
T1w_CE_Necrosis_mRmR	Ridge	0.72857143	0.75	0.6	0.85714286	0.75833333
T1w_CE_Necrosis_mRmR	SVC	0.72857143	0.75	0.6	0.85714286	0.75833333

T1w_CE_Necrosis_RFE	MLPC	0.72857143	0.75	0.6	0.85714286	0.75833333
T1w_CE_Whole_Kbest	AB	0.72857143	0.75	0.6	0.85714286	0.75833333
T1w_CE_Whole_Kbest	Bagging	0.72857143	0.75	0.6	0.85714286	0.75833333
T1w_CE_Whole_Kbest	PA	0.72857143	0.75	0.6	0.85714286	0.75833333
T1w_CE_Whole_mRmR	DT	0.72857143	0.75	0.6	0.85714286	0.75833333
T1w_CE_Whole_mRmR	RF	0.72857143	0.75	0.6	0.85714286	0.75833333
T1w_CE_Whole_RFE	Bagging	0.72857143	0.75	0.6	0.85714286	0.75833333
T1w_CE_Whole_RFE	GB	0.72857143	0.75	0.6	0.85714286	0.75833333
T1w_CE_Whole_RFE	KN	0.72857143	0.75	0.6	0.85714286	0.75833333
T2w_Flair_Core_mRmR	MLPC	0.72857143	0.75	0.6	0.85714286	0.75833333
T2w_Flair_Core_RFE	Ridge	0.72857143	0.75	0.6	0.85714286	0.75833333
T2w_Flair_Edema_Kbest	Bagging	0.72857143	0.75	0.6	0.85714286	0.75833333
T2w_Flair_Edema_RFE	AB	0.72857143	0.75	0.6	0.85714286	0.75833333
T2w_Flair_Edema_RFE	DT	0.72857143	0.75	0.6	0.85714286	0.75833333
T2w_Flair_Enhancing_Kbest	MLPC	0.72857143	0.75	0.6	0.85714286	0.75833333
T2w_Flair_Enhancing_mRmR	MLPC	0.72857143	0.75	0.6	0.85714286	0.75833333
T2w_Flair_Enhancing_mRmR	SVC	0.72857143	0.75	0.6	0.85714286	0.75833333
T2w_Flair_Enhancing_mRmR	KN	0.72857143	0.75	0.6	0.85714286	0.75833333
T2w_Flair_Enhancing_RFE	ET	0.72857143	0.75	0.6	0.85714286	0.75833333
T2w_Flair_Enhancing_RFE	HGB	0.72857143	0.75	0.6	0.85714286	0.75833333
T2w_Flair_Enhancing_RFE	RF	0.72857143	0.75	0.6	0.85714286	0.75833333
T2w_Flair_Whole_Kbest	HGB	0.72857143	0.75	0.6	0.85714286	0.75833333
T2w_Flair_Whole_mRmR	DT	0.72857143	0.75	0.6	0.85714286	0.75833333
T2w_Flair_Whole_RFE	Bagging	0.72857143	0.75	0.6	0.85714286	0.75833333
T2w_Flair_Whole_RFE	ET	0.72857143	0.75	0.6	0.85714286	0.75833333
T2w_Flair_Whole_RFE	GNB	0.72857143	0.75	0.6	0.85714286	0.75833333
T2w_Flair_Whole_RFE	HGB	0.72857143	0.75	0.6	0.85714286	0.75833333
T2w_Flair_Whole_RFE	MLPC	0.72857143	0.75	0.6	0.85714286	0.75833333
T2w_Flair_Whole_RFE	RF	0.72857143	0.75	0.6	0.85714286	0.75833333
T2w_Flair_Whole_RFE	SVC	0.72857143	0.75	0.6	0.85714286	0.75833333
T1w_CE_Core_mRmR	HGB	0.71428571	0.66666667	1	0.42857143	0.77777778
T2w_Flair_Whole_Kbest	DT	0.71428571	0.66666667	1	0.42857143	0.77777778
T1w_CE_Core_mRmR	LR	0.7	0.75	0.4	1	0.825
T1w_CE_Core_mRmR	Ridge	0.7	0.75	0.4	1	0.825
T1w_CE_Core_RFE	Bagging	0.7	0.75	0.4	1	0.825
T1w_CE_Core_RFE	DT	0.7	0.75	0.4	1	0.825
T1w_CE_Core_RFE	GNB	0.7	0.75	0.4	1	0.825
T1w_CE_Core_RFE	GB	0.7	0.75	0.4	1	0.825
T1w_CE_Core_RFE	QDA	0.7	0.75	0.4	1	0.825
T1w_CE_Core_RFE	SVC	0.7	0.75	0.4	1	0.825

T1w_CE_Edema_Kbest	LDA	0.7	0.75	0.4	1	0.825
T1w_CE_Edema_Kbest	LR	0.7	0.75	0.4	1	0.825
T1w_CE_Edema_Kbest	Ridge	0.7	0.75	0.4	1	0.825
T1w_CE_Edema_mRmR	Bagging	0.7	0.75	0.4	1	0.825
T1w_CE_Edema_mRmR	ET	0.7	0.75	0.4	1	0.825
T1w_CE_Edema_mRmR	KN	0.7	0.75	0.4	1	0.825
T1w_CE_Edema_mRmR	MLPC	0.7	0.75	0.4	1	0.825
T1w_CE_Edema_mRmR	SVC	0.7	0.75	0.4	1	0.825
T1w_CE_Enhancing_Kbest	Bagging	0.7	0.75	0.4	1	0.825
T1w_CE_Enhancing_Kbest	DT	0.7	0.75	0.4	1	0.825
T1w_CE_Enhancing_Kbest	KN	0.7	0.75	0.4	1	0.825
T1w_CE_Whole_Kbest	GNB	0.7	0.75	0.4	1	0.825
T1w_CE_Whole_Kbest	LDA	0.7	0.75	0.4	1	0.825
T1w_CE_Whole_Kbest	LR	0.7	0.75	0.4	1	0.825
T1w_CE_Whole_Kbest	QDA	0.7	0.75	0.4	1	0.825
T1w_CE_Whole_Kbest	Ridge	0.7	0.75	0.4	1	0.825
T1w_CE_Whole_mRmR	LDA	0.7	0.75	0.4	1	0.825
T1w_CE_Whole_mRmR	MLPC	0.7	0.75	0.4	1	0.825
T1w_CE_Whole_mRmR	NC	0.7	0.75	0.4	1	0.825
T1w_CE_Whole_mRmR	QDA	0.7	0.75	0.4	1	0.825
T1w_CE_Whole_mRmR	Ridge	0.7	0.75	0.4	1	0.825
T1w_CE_Whole_mRmR	SVC	0.7	0.75	0.4	1	0.825
T1w_CE_Whole_RFE	GNB	0.7	0.75	0.4	1	0.825
T1w_CE_Whole_RFE	MLPC	0.7	0.75	0.4	1	0.825
T1w_CE_Whole_RFE	QDA	0.7	0.75	0.4	1	0.825
T1w_CE_Whole_RFE	SVC	0.7	0.75	0.4	1	0.825
T2w_Flair_Core_mRmR	LDA	0.7	0.75	0.4	1	0.825
T2w_Flair_Core_mRmR	Ridge	0.7	0.75	0.4	1	0.825
T2w_Flair_Edema_Kbest	GNB	0.7	0.75	0.4	1	0.825
T2w_Flair_Edema_Kbest	HGB	0.7	0.75	0.4	1	0.825
T2w_Flair_Edema_mRmR	ET	0.7	0.75	0.4	1	0.825
T2w_Flair_Edema_mRmR	GNB	0.7	0.75	0.4	1	0.825
T2w_Flair_Edema_mRmR	HGB	0.7	0.75	0.4	1	0.825
T2w_Flair_Edema_mRmR	MLPC	0.7	0.75	0.4	1	0.825
T2w_Flair_Edema_mRmR	RF	0.7	0.75	0.4	1	0.825
T2w_Flair_Edema_RFE	ET	0.7	0.75	0.4	1	0.825
T2w_Flair_Edema_RFE	GB	0.7	0.75	0.4	1	0.825
T2w_Flair_Edema_RFE	HGB	0.7	0.75	0.4	1	0.825
T2w_Flair_Edema_RFE	SVC	0.7	0.75	0.4	1	0.825
T2w_Flair_Edema_RFE	Bagging	0.7	0.75	0.4	1	0.825

T2w_Flair_Enhancing_RFE	DT	0.7	0.75	0.4	1	0.825
T2w_Flair_Enhancing_RFE	ET	0.7	0.75	0.4	1	0.825
T2w_Flair_Whole_Kbest	QDA	0.7	0.75	0.4	1	0.825
T2w_Flair_Whole_Kbest	SVC	0.7	0.75	0.4	1	0.825
T2w_Flair_Whole_mRmR	AB	0.7	0.75	0.4	1	0.825
T2w_Flair_Whole_mRmR	GB	0.7	0.75	0.4	1	0.825
T2w_Flair_Whole_mRmR	LDA	0.7	0.75	0.4	1	0.825
T2w_Flair_Whole_mRmR	LR	0.7	0.75	0.4	1	0.825
T2w_Flair_Whole_mRmR	MLPC	0.7	0.75	0.4	1	0.825
T2w_Flair_Whole_mRmR	Ridge	0.7	0.75	0.4	1	0.825
T2w_Flair_Whole_mRmR	SVC	0.7	0.75	0.4	1	0.825
T1w_CE_Core_mRmR	AB	0.68571429	0.66666667	0.8	0.57142857	0.72738095
T1w_CE_Core_mRmR	ET	0.68571429	0.66666667	0.8	0.57142857	0.72738095
T1w_CE_Necrosis_RFE	HGB	0.68571429	0.66666667	0.8	0.57142857	0.72738095
T1w_CE_Whole_mRmR	PA	0.68571429	0.66666667	0.8	0.57142857	0.72738095
T2w_Flair_Core_Kbest	ET	0.68571429	0.66666667	0.8	0.57142857	0.72738095
T2w_Flair_Core_RFE	Bagging	0.68571429	0.66666667	0.8	0.57142857	0.72738095
T2w_Flair_Core_RFE	DT	0.68571429	0.66666667	0.8	0.57142857	0.72738095
T2w_Flair_Core_RFE	ET	0.68571429	0.66666667	0.8	0.57142857	0.72738095
T2w_Flair_Core_RFE	GB	0.68571429	0.66666667	0.8	0.57142857	0.72738095
T2w_Flair_Core_RFE	RF	0.68571429	0.66666667	0.8	0.57142857	0.72738095
T2w_Flair_Enhancing_Kbest	Bagging	0.68571429	0.66666667	0.8	0.57142857	0.72738095
T2w_Flair_Enhancing_Kbest	DT	0.68571429	0.66666667	0.8	0.57142857	0.72738095
T2w_Flair_Enhancing_Kbest	ET	0.68571429	0.66666667	0.8	0.57142857	0.72738095
T2w_Flair_Enhancing_Kbest	GB	0.68571429	0.66666667	0.8	0.57142857	0.72738095
T2w_Flair_Enhancing_Kbest	RF	0.68571429	0.66666667	0.8	0.57142857	0.72738095
T2w_Flair_Enhancing_mRmR	AB	0.68571429	0.66666667	0.8	0.57142857	0.72738095
T2w_Flair_Enhancing_mRmR	DT	0.68571429	0.66666667	0.8	0.57142857	0.72738095
T2w_Flair_Enhancing_mRmR	GB	0.68571429	0.66666667	0.8	0.57142857	0.72738095
T2w_Flair_Enhancing_mRmR	HGB	0.68571429	0.66666667	0.8	0.57142857	0.72738095
T2w_Flair_Enhancing_RFE	PA	0.68571429	0.66666667	0.8	0.57142857	0.72738095
T1w_CE_Core_mRmR	KN	0.65714286	0.66666667	0.6	0.71428571	0.68333333
T1w_CE_Edema_mRmR	DT	0.65714286	0.66666667	0.6	0.71428571	0.68333333
T1w_CE_Enhancing_mRmR	KN	0.65714286	0.66666667	0.6	0.71428571	0.68333333
T1w_CE_Necrosis_Kbest	DT	0.65714286	0.66666667	0.6	0.71428571	0.68333333
T1w_CE_Necrosis_Kbest	ET	0.65714286	0.66666667	0.6	0.71428571	0.68333333
T1w_CE_Necrosis_Kbest	KN	0.65714286	0.66666667	0.6	0.71428571	0.68333333
T1w_CE_Necrosis_Kbest	LDA	0.65714286	0.66666667	0.6	0.71428571	0.68333333
T1w_CE_Necrosis_Kbest	LR	0.65714286	0.66666667	0.6	0.71428571	0.68333333
T1w_CE_Necrosis_Kbest	MLPC	0.65714286	0.66666667	0.6	0.71428571	0.68333333

T1w_CE_Necrosis_Kbest	QDA	0.65714286	0.66666667	0.6	0.71428571	0.68333333
T1w_CE_Necrosis_Kbest	RF	0.65714286	0.66666667	0.6	0.71428571	0.68333333
T1w_CE_Necrosis_Kbest	Ridge	0.65714286	0.66666667	0.6	0.71428571	0.68333333
T1w_CE_Necrosis_mRmR	ET	0.65714286	0.66666667	0.6	0.71428571	0.68333333
T1w_CE_Necrosis_mRmR	GNB	0.65714286	0.66666667	0.6	0.71428571	0.68333333
T1w_CE_Necrosis_mRmR	GB	0.65714286	0.66666667	0.6	0.71428571	0.68333333
T1w_CE_Necrosis_mRmR	HGB	0.65714286	0.66666667	0.6	0.71428571	0.68333333
T1w_CE_Necrosis_mRmR	MLPC	0.65714286	0.66666667	0.6	0.71428571	0.68333333
T1w_CE_Necrosis_mRmR	NC	0.65714286	0.66666667	0.6	0.71428571	0.68333333
T1w_CE_Necrosis_mRmR	QDA	0.65714286	0.66666667	0.6	0.71428571	0.68333333
T1w_CE_Necrosis_mRmR	RF	0.65714286	0.66666667	0.6	0.71428571	0.68333333
T1w_CE_Whole_mRmR	GB	0.65714286	0.66666667	0.6	0.71428571	0.68333333
T1w_CE_Whole_mRmR	HGB	0.65714286	0.66666667	0.6	0.71428571	0.68333333
T1w_CE_Whole_RFE	AB	0.65714286	0.66666667	0.6	0.71428571	0.68333333
T2w_Flair_Core_Kbest	GB	0.65714286	0.66666667	0.6	0.71428571	0.68333333
T2w_Flair_Edema_mRmR	PA	0.65714286	0.66666667	0.6	0.71428571	0.68333333
T2w_Flair_Enhancing_Kbest	KN	0.65714286	0.66666667	0.6	0.71428571	0.68333333
T2w_Flair_Enhancing_Kbest	QDA	0.65714286	0.66666667	0.6	0.71428571	0.68333333
T2w_Flair_Enhancing_Kbest	SVC	0.65714286	0.66666667	0.6	0.71428571	0.68333333
T2w_Flair_Enhancing_mRmR	HGB	0.65714286	0.66666667	0.6	0.71428571	0.68333333
T2w_Flair_Enhancing_RFE	Bagging	0.65714286	0.66666667	0.6	0.71428571	0.68333333
T2w_Flair_Whole_Kbest	PA	0.65714286	0.66666667	0.6	0.71428571	0.68333333
T2w_Flair_Whole_mRmR	Bagging	0.65714286	0.66666667	0.6	0.71428571	0.68333333
T2w_Flair_Whole_mRmR	GNB	0.65714286	0.66666667	0.6	0.71428571	0.68333333
T2w_Flair_Whole_mRmR	NC	0.65714286	0.66666667	0.6	0.71428571	0.68333333
T2w_Flair_Whole_RFE	AB	0.65714286	0.66666667	0.6	0.71428571	0.68333333
T2w_Flair_Whole_RFE	DT	0.65714286	0.66666667	0.6	0.71428571	0.68333333
T1w_CE_Necrosis_RFE	QDA	0.64285714	0.58333333	1	0.28571429	0.75
T2w_Flair_Whole_RFE	PA	0.64285714	0.58333333	1	0.28571429	0.75
T1w_CE_Core_mRmR	LDA	0.62857143	0.66666667	0.4	0.85714286	0.65833333
T1w_CE_Edema_mRmR	AB	0.62857143	0.66666667	0.4	0.85714286	0.65833333
T1w_CE_Edema_mRmR	HGB	0.62857143	0.66666667	0.4	0.85714286	0.65833333
T1w_CE_Necrosis_mRmR	AB	0.62857143	0.66666667	0.4	0.85714286	0.65833333
T1w_CE_Necrosis_mRmR	Bagging	0.62857143	0.66666667	0.4	0.85714286	0.65833333
T1w_CE_Whole_mRmR	Bagging	0.62857143	0.66666667	0.4	0.85714286	0.65833333
T1w_CE_Whole_mRmR	ET	0.62857143	0.66666667	0.4	0.85714286	0.65833333
T2w_Flair_Core_Kbest	KN	0.62857143	0.66666667	0.4	0.85714286	0.65833333
T2w_Flair_Core_RFE	LR	0.62857143	0.66666667	0.4	0.85714286	0.65833333
T2w_Flair_Edema_Kbest	AB	0.62857143	0.66666667	0.4	0.85714286	0.65833333
T2w_Flair_Edema_Kbest	DT	0.62857143	0.66666667	0.4	0.85714286	0.65833333

T2w_Flair_Edema_mRmR	AB	0.62857143	0.66666667	0.4	0.85714286	0.65833333
T2w_Flair_Enhancing_Kbest	GNB	0.62857143	0.66666667	0.4	0.85714286	0.65833333
T2w_Flair_Enhancing_Kbest	MLPC	0.62857143	0.66666667	0.4	0.85714286	0.65833333
T2w_Flair_Enhancing_Kbest	GNB	0.62857143	0.66666667	0.4	0.85714286	0.65833333
T2w_Flair_Enhancing_Kbest	QDA	0.62857143	0.66666667	0.4	0.85714286	0.65833333
T2w_Flair_Enhancing_mRmR	KN	0.62857143	0.66666667	0.4	0.85714286	0.65833333
T2w_Flair_Enhancing_RFE	KN	0.62857143	0.66666667	0.4	0.85714286	0.65833333
T2w_Flair_Enhancing_RFE	AB	0.62857143	0.66666667	0.4	0.85714286	0.65833333
T2w_Flair_Enhancing_RFE	GB	0.62857143	0.66666667	0.4	0.85714286	0.65833333
T2w_Flair_Enhancing_RFE	HGB	0.62857143	0.66666667	0.4	0.85714286	0.65833333
T2w_Flair_Whole_Kbest	GNB	0.62857143	0.66666667	0.4	0.85714286	0.65833333
T2w_Flair_Whole_RFE	KN	0.62857143	0.66666667	0.4	0.85714286	0.65833333
T2w_Flair_Whole_RFE	QDA	0.62857143	0.66666667	0.4	0.85714286	0.65833333
T1w_CE_Core_mRmR	NC	0.61428571	0.58333333	0.8	0.42857143	0.69166667
T1w_CE_Core_mRmR	RF	0.61428571	0.58333333	0.8	0.42857143	0.69166667
T1w_CE_Necrosis_Kbest	Bagging	0.61428571	0.58333333	0.8	0.42857143	0.69166667
T1w_CE_Necrosis_Kbest	GNB	0.61428571	0.58333333	0.8	0.42857143	0.69166667
T1w_CE_Necrosis_RFE	RF	0.61428571	0.58333333	0.8	0.42857143	0.69166667
T2w_Flair_Enhancing_Kbest	NC	0.61428571	0.58333333	0.8	0.42857143	0.69166667
T1w_CE_Edema_mRmR	GNB	0.6	0.66666667	0.2	1	0.76666667
T1w_CE_Edema_mRmR	NC	0.6	0.66666667	0.2	1	0.76666667
T1w_CE_Edema_mRmR	RF	0.6	0.66666667	0.2	1	0.76666667
T1w_CE_Edema_RFE	GB	0.6	0.66666667	0.2	1	0.76666667
T1w_CE_Enhancing_Kbest	NC	0.6	0.66666667	0.2	1	0.76666667
T1w_CE_Enhancing_mRmR	Bagging	0.6	0.66666667	0.2	1	0.76666667
T1w_CE_Enhancing_mRmR	QDA	0.6	0.66666667	0.2	1	0.76666667
T1w_CE_Enhancing_RFE	BNB	0.6	0.66666667	0.2	1	0.76666667
T1w_CE_Necrosis_RFE	LR	0.6	0.66666667	0.2	1	0.76666667
T1w_CE_Whole_mRmR	GNB	0.6	0.66666667	0.2	1	0.76666667
T1w_CE_Whole_mRmR	LR	0.6	0.66666667	0.2	1	0.76666667
T2w_Flair_Core_mRmR	GNB	0.6	0.66666667	0.2	1	0.76666667
T2w_Flair_Core_mRmR	LR	0.6	0.66666667	0.2	1	0.76666667
T2w_Flair_Edema_Kbest	BNB	0.6	0.66666667	0.2	1	0.76666667
T2w_Flair_Edema_mRmR	Bagging	0.6	0.66666667	0.2	1	0.76666667
T2w_Flair_Edema_mRmR	DT	0.6	0.66666667	0.2	1	0.76666667
T2w_Flair_Edema_mRmR	GB	0.6	0.66666667	0.2	1	0.76666667
T2w_Flair_Edema_mRmR	KN	0.6	0.66666667	0.2	1	0.76666667
T2w_Flair_Edema_RFE	MLPC	0.6	0.66666667	0.2	1	0.76666667
T2w_Flair_Edema_RFE	RF	0.6	0.66666667	0.2	1	0.76666667
T2w_Flair_Enhancing_RFE	SVC	0.6	0.66666667	0.2	1	0.76666667

T2w_Flair_Whole_Kbest	BNB	0.6	0.66666667	0.2	1	0.76666667
T2w_Flair_Whole_mRmR	BNB	0.6	0.66666667	0.2	1	0.76666667
T1w_CE_Necrosis_Kbest	GB	0.58571429	0.58333333	0.6	0.57142857	0.63333333
T1w_CE_Necrosis_Kbest	HGB	0.58571429	0.58333333	0.6	0.57142857	0.63333333
T1w_CE_Necrosis_RFE	Bagging	0.58571429	0.58333333	0.6	0.57142857	0.63333333
T2w_Flair_Core_Kbest	Bagging	0.58571429	0.58333333	0.6	0.57142857	0.63333333
T2w_Flair_Core_Kbest	DT	0.58571429	0.58333333	0.6	0.57142857	0.63333333
T2w_Flair_Core_Kbest	RF	0.58571429	0.58333333	0.6	0.57142857	0.63333333
T2w_Flair_Enhancing_Kbest	AB	0.58571429	0.58333333	0.6	0.57142857	0.63333333
T2w_Flair_Enhancing_mRmR	DT	0.58571429	0.58333333	0.6	0.57142857	0.63333333
T2w_Flair_Enhancing_mRmR	Bagging	0.58571429	0.58333333	0.6	0.57142857	0.63333333
T2w_Flair_Enhancing_mRmR	ET	0.58571429	0.58333333	0.6	0.57142857	0.63333333
T2w_Flair_Enhancing_mRmR	RF	0.58571429	0.58333333	0.6	0.57142857	0.63333333
T2w_Flair_Enhancing_RFE	DT	0.58571429	0.58333333	0.6	0.57142857	0.63333333
T2w_Flair_Whole_mRmR	HGB	0.58571429	0.58333333	0.6	0.57142857	0.63333333
T1w_CE_Core_mRmR	DT	0.57142857	0.5	1	0.14285714	0.72727273
T1w_CE_Edema_Kbest	GB	0.55714286	0.58333333	0.4	0.71428571	0.575
T2w_Flair_Core_Kbest	HGB	0.55714286	0.58333333	0.4	0.71428571	0.575
T2w_Flair_Core_mRmR	DT	0.55714286	0.58333333	0.4	0.71428571	0.575
T2w_Flair_Core_mRmR	NC	0.55714286	0.58333333	0.4	0.71428571	0.575
T2w_Flair_Core_mRmR	PA	0.55714286	0.58333333	0.4	0.71428571	0.575
T2w_Flair_Whole_Kbest	LDA	0.55714286	0.58333333	0.4	0.71428571	0.575
T2w_Flair_Whole_Kbest	LR	0.55714286	0.58333333	0.4	0.71428571	0.575
T2w_Flair_Whole_Kbest	MLPC	0.55714286	0.58333333	0.4	0.71428571	0.575
T2w_Flair_Whole_Kbest	NC	0.55714286	0.58333333	0.4	0.71428571	0.575
T2w_Flair_Whole_Kbest	Ridge	0.55714286	0.58333333	0.4	0.71428571	0.575
T2w_Flair_Whole_mRmR	QDA	0.55714286	0.58333333	0.4	0.71428571	0.575
T1w_CE_Edema_mRmR	GB	0.52857143	0.58333333	0.2	0.85714286	0.51666667
T1w_CE_Edema_RFE	KN	0.52857143	0.58333333	0.2	0.85714286	0.51666667
T1w_CE_Enhancing_Kbest	AB	0.52857143	0.58333333	0.2	0.85714286	0.51666667
T1w_CE_Necrosis_RFE	Ridge	0.52857143	0.58333333	0.2	0.85714286	0.51666667
T1w_CE_Whole_mRmR	KN	0.52857143	0.58333333	0.2	0.85714286	0.51666667
T2w_Flair_Core_Kbest	AB	0.52857143	0.58333333	0.2	0.85714286	0.51666667
T2w_Flair_Edema_Kbest	GB	0.52857143	0.58333333	0.2	0.85714286	0.51666667
T2w_Flair_Edema_Kbest	QDA	0.52857143	0.58333333	0.2	0.85714286	0.51666667
T2w_Flair_Edema_Kbest	RF	0.52857143	0.58333333	0.2	0.85714286	0.51666667
T2w_Flair_Edema_mRmR	QDA	0.52857143	0.58333333	0.2	0.85714286	0.51666667
T2w_Flair_Edema_RFE	Bagging	0.52857143	0.58333333	0.2	0.85714286	0.51666667
T2w_Flair_Edema_RFE	BNB	0.52857143	0.58333333	0.2	0.85714286	0.51666667
T2w_Flair_Edema_RFE	KN	0.52857143	0.58333333	0.2	0.85714286	0.51666667

T2w_Flair_Enhancing_Kbest	LDA	0.52857143	0.58333333	0.2	0.85714286	0.51666667
T2w_Flair_Enhancing_mRmR	NC	0.52857143	0.58333333	0.2	0.85714286	0.51666667
T2w_Flair_Enhancing_mRmR	QDA	0.52857143	0.58333333	0.2	0.85714286	0.51666667
T2w_Flair_Enhancing_mRmR	NC	0.52857143	0.58333333	0.2	0.85714286	0.51666667
T2w_Flair_Enhancing_RFE	AB	0.52857143	0.58333333	0.2	0.85714286	0.51666667
T2w_Flair_Enhancing_RFE	QDA	0.52857143	0.58333333	0.2	0.85714286	0.51666667
T1w_CE_Edema_Kbest	HGB	0.51428571	0.5	0.6	0.42857143	0.59761905
T1w_CE_Edema_Kbest	KN	0.51428571	0.5	0.6	0.42857143	0.59761905
T1w_CE_Necrosis_RFE	DT	0.51428571	0.5	0.6	0.42857143	0.59761905
T1w_CE_Necrosis_RFE	GB	0.51428571	0.5	0.6	0.42857143	0.59761905
T1w_CE_Core_Kbest	BNB	0.5	0.58333333	0	1	0.70833333
T1w_CE_Core_Kbest	PA	0.5	0.58333333	0	1	0.70833333
T1w_CE_Core_mRmR	BNB	0.5	0.58333333	0	1	0.70833333
T1w_CE_Core_mRmR	PA	0.5	0.58333333	0	1	0.70833333
T1w_CE_Core_RFE	BNB	0.5	0.58333333	0	1	0.70833333
T1w_CE_Core_RFE	LDA	0.5	0.58333333	0	1	0.70833333
T1w_CE_Core_RFE	LR	0.5	0.58333333	0	1	0.70833333
T1w_CE_Core_RFE	MLPC	0.5	0.58333333	0	1	0.70833333
T1w_CE_Core_RFE	NC	0.5	0.58333333	0	1	0.70833333
T1w_CE_Core_RFE	Ridge	0.5	0.58333333	0	1	0.70833333
T1w_CE_Edema_Kbest	BNB	0.5	0.58333333	0	1	0.70833333
T1w_CE_Edema_mRmR	BNB	0.5	0.58333333	0	1	0.70833333
T1w_CE_Edema_mRmR	LDA	0.5	0.58333333	0	1	0.70833333
T1w_CE_Edema_mRmR	LR	0.5	0.58333333	0	1	0.70833333
T1w_CE_Edema_mRmR	PA	0.5	0.41666667	1	0	0.70833333
T1w_CE_Edema_mRmR	Ridge	0.5	0.58333333	0	1	0.70833333
T1w_CE_Edema_RFE	AB	0.5	0.58333333	0	1	0.70833333
T1w_CE_Edema_RFE	BNB	0.5	0.58333333	0	1	0.70833333
T1w_CE_Edema_RFE	GNB	0.5	0.58333333	0	1	0.70833333
T1w_CE_Edema_RFE	LDA	0.5	0.58333333	0	1	0.70833333
T1w_CE_Edema_RFE	LR	0.5	0.58333333	0	1	0.70833333
T1w_CE_Edema_RFE	MLPC	0.5	0.58333333	0	1	0.70833333
T1w_CE_Edema_RFE	PA	0.5	0.58333333	0	1	0.70833333
T1w_CE_Edema_RFE	QDA	0.5	0.58333333	0	1	0.70833333
T1w_CE_Edema_RFE	Ridge	0.5	0.58333333	0	1	0.70833333
T1w_CE_Edema_RFE	SVC	0.5	0.58333333	0	1	0.70833333
T1w_CE_Enhancing_Kbest	BNB	0.5	0.58333333	0	1	0.70833333
T1w_CE_Enhancing_Kbest	LDA	0.5	0.58333333	0	1	0.70833333
T1w_CE_Enhancing_Kbest	LR	0.5	0.58333333	0	1	0.70833333
T1w_CE_Enhancing_Kbest	MLPC	0.5	0.58333333	0	1	0.70833333

T1w_CE_Enhancing_Kbest	Ridge	0.5	0.58333333	0	1	0.70833333
T1w_CE_Enhancing_Kbest	SVC	0.5	0.58333333	0	1	0.70833333
T1w_CE_Enhancing_mRmR	BNB	0.5	0.58333333	0	1	0.70833333
T1w_CE_Enhancing_mRmR	GNB	0.5	0.58333333	0	1	0.70833333
T1w_CE_Enhancing_mRmR	LDA	0.5	0.58333333	0	1	0.70833333
T1w_CE_Enhancing_mRmR	LR	0.5	0.58333333	0	1	0.70833333
T1w_CE_Enhancing_mRmR	MLPC	0.5	0.58333333	0	1	0.70833333
T1w_CE_Enhancing_mRmR	Ridge	0.5	0.58333333	0	1	0.70833333
T1w_CE_Enhancing_RFE	GNB	0.5	0.58333333	0	1	0.70833333
T1w_CE_Enhancing_RFE	LDA	0.5	0.58333333	0	1	0.70833333
T1w_CE_Enhancing_RFE	LR	0.5	0.58333333	0	1	0.70833333
T1w_CE_Enhancing_RFE	NC	0.5	0.58333333	0	1	0.70833333
T1w_CE_Enhancing_RFE	PA	0.5	0.58333333	0	1	0.70833333
T1w_CE_Enhancing_RFE	Ridge	0.5	0.58333333	0	1	0.70833333
T1w_CE_Necrosis_Kbest	BNB	0.5	0.58333333	0	1	0.70833333
T1w_CE_Necrosis_Kbest	PA	0.5	0.41666667	1	0	0.70833333
T1w_CE_Necrosis_mRmR	BNB	0.5	0.58333333	0	1	0.70833333
T1w_CE_Necrosis_mRmR	PA	0.5	0.58333333	0	1	0.70833333
T1w_CE_Necrosis_RFE	BNB	0.5	0.58333333	0	1	0.70833333
T1w_CE_Whole_Kbest	BNB	0.5	0.58333333	0	1	0.70833333
T1w_CE_Whole_mRmR	BNB	0.5	0.58333333	0	1	0.70833333
T1w_CE_Whole_RFE	BNB	0.5	0.58333333	0	1	0.70833333
T1w_CE_Whole_RFE	LDA	0.5	0.58333333	0	1	0.70833333
T1w_CE_Whole_RFE	LR	0.5	0.58333333	0	1	0.70833333
T1w_CE_Whole_RFE	PA	0.5	0.41666667	1	0	0.70833333
T1w_CE_Whole_RFE	Ridge	0.5	0.58333333	0	1	0.70833333
T2w_Flair_Core_Kbest	BNB	0.5	0.58333333	0	1	0.70833333
T2w_Flair_Core_Kbest	GNB	0.5	0.58333333	0	1	0.70833333
T2w_Flair_Core_Kbest	LDA	0.5	0.58333333	0	1	0.70833333
T2w_Flair_Core_Kbest	LR	0.5	0.58333333	0	1	0.70833333
T2w_Flair_Core_Kbest	MLPC	0.5	0.58333333	0	1	0.70833333
T2w_Flair_Core_Kbest	PA	0.5	0.41666667	1	0	0.70833333
T2w_Flair_Core_Kbest	QDA	0.5	0.58333333	0	1	0.70833333
T2w_Flair_Core_Kbest	Ridge	0.5	0.58333333	0	1	0.70833333
T2w_Flair_Core_Kbest	SVC	0.5	0.58333333	0	1	0.70833333
T2w_Flair_Core_mRmR	BNB	0.5	0.58333333	0	1	0.70833333
T2w_Flair_Core_RFE	BNB	0.5	0.58333333	0	1	0.70833333
T2w_Flair_Core_RFE	NC	0.5	0.41666667	1	0	0.70833333
T2w_Flair_Core_RFE	PA	0.5	0.58333333	0	1	0.70833333
T2w_Flair_Edema_Kbest	LDA	0.5	0.58333333	0	1	0.70833333

T2w_Flair_Edema_Kbest	LR	0.5	0.58333333	0	1	0.70833333
T2w_Flair_Edema_Kbest	MLPC	0.5	0.58333333	0	1	0.70833333
T2w_Flair_Edema_Kbest	NC	0.5	0.58333333	0	1	0.70833333
T2w_Flair_Edema_Kbest	Ridge	0.5	0.58333333	0	1	0.70833333
T2w_Flair_Edema_Kbest	SVC	0.5	0.58333333	0	1	0.70833333
T2w_Flair_Edema_mRmR	BNB	0.5	0.58333333	0	1	0.70833333
T2w_Flair_Edema_mRmR	LDA	0.5	0.58333333	0	1	0.70833333
T2w_Flair_Edema_mRmR	LR	0.5	0.58333333	0	1	0.70833333
T2w_Flair_Edema_mRmR	NC	0.5	0.58333333	0	1	0.70833333
T2w_Flair_Edema_mRmR	Ridge	0.5	0.58333333	0	1	0.70833333
T2w_Flair_Edema_mRmR	SVC	0.5	0.58333333	0	1	0.70833333
T2w_Flair_Edema_RFE	LDA	0.5	0.58333333	0	1	0.70833333
T2w_Flair_Edema_RFE	LR	0.5	0.58333333	0	1	0.70833333
T2w_Flair_Edema_RFE	NC	0.5	0.58333333	0	1	0.70833333
T2w_Flair_Edema_RFE	PA	0.5	0.58333333	0	1	0.70833333
T2w_Flair_Edema_RFE	Ridge	0.5	0.58333333	0	1	0.70833333
T2w_Flair_Edema_RFE	SVC	0.5	0.58333333	0	1	0.70833333
T2w_Flair_Enhancing_Kbest	BNB	0.5	0.58333333	0	1	0.70833333
T2w_Flair_Enhancing_Kbest	LR	0.5	0.58333333	0	1	0.70833333
T2w_Flair_Enhancing_Kbest	PA	0.5	0.58333333	0	1	0.70833333
T2w_Flair_Enhancing_Kbest	BNB	0.5	0.58333333	0	1	0.70833333
T2w_Flair_Enhancing_Kbest	PA	0.5	0.58333333	0	1	0.70833333
T2w_Flair_Enhancing_mRmR	BNB	0.5	0.58333333	0	1	0.70833333
T2w_Flair_Enhancing_mRmR	GNB	0.5	0.58333333	0	1	0.70833333
T2w_Flair_Enhancing_mRmR	LDA	0.5	0.58333333	0	1	0.70833333
T2w_Flair_Enhancing_mRmR	LR	0.5	0.58333333	0	1	0.70833333
T2w_Flair_Enhancing_mRmR	PA	0.5	0.58333333	0	1	0.70833333
T2w_Flair_Enhancing_mRmR	Ridge	0.5	0.58333333	0	1	0.70833333
T2w_Flair_Enhancing_mRmR	BNB	0.5	0.58333333	0	1	0.70833333
T2w_Flair_Enhancing_mRmR	PA	0.5	0.41666667	1	0	0.70833333
T2w_Flair_Enhancing_RFE	BNB	0.5	0.58333333	0	1	0.70833333
T2w_Flair_Enhancing_RFE	LDA	0.5	0.58333333	0	1	0.70833333
T2w_Flair_Enhancing_RFE	LR	0.5	0.58333333	0	1	0.70833333
T2w_Flair_Enhancing_RFE	MLPC	0.5	0.58333333	0	1	0.70833333
T2w_Flair_Enhancing_RFE	PA	0.5	0.41666667	1	0	0.70833333
T2w_Flair_Enhancing_RFE	Ridge	0.5	0.58333333	0	1	0.70833333
T2w_Flair_Enhancing_RFE	BNB	0.5	0.58333333	0	1	0.70833333
T2w_Flair_Enhancing_RFE	GNB	0.5	0.58333333	0	1	0.70833333
T2w_Flair_Enhancing_RFE	LDA	0.5	0.58333333	0	1	0.70833333
T2w_Flair_Enhancing_RFE	LR	0.5	0.58333333	0	1	0.70833333

T2w_Flair_Enhancing_RFE	MLPC	0.5	0.58333333	0	1	0.70833333
T2w_Flair_Enhancing_RFE	Ridge	0.5	0.58333333	0	1	0.70833333
T2w_Flair_Whole_mRmR	PA	0.5	0.58333333	0	1	0.70833333
T2w_Flair_Whole_RFE	BNB	0.5	0.41666667	1	0	0.70833333
T1w_CE_Necrosis_RFE	KN	0.48571429	0.5	0.4	0.57142857	0.525
T2w_Flair_Edema_Kbest	PA	0.47142857	0.41666667	0.8	0.14285714	0.64166667
T1w_CE_Edema_RFE	Bagging	0.45714286	0.5	0.2	0.71428571	0.43333333
T1w_CE_Edema_RFE	DT	0.45714286	0.5	0.2	0.71428571	0.43333333
T1w_CE_Edema_RFE	ET	0.45714286	0.5	0.2	0.71428571	0.43333333
T1w_CE_Edema_RFE	RF	0.45714286	0.5	0.2	0.71428571	0.43333333
T1w_CE_Necrosis_RFE	ET	0.45714286	0.5	0.2	0.71428571	0.43333333
T1w_CE_Necrosis_RFE	LDA	0.45714286	0.5	0.2	0.71428571	0.43333333
T1w_CE_Necrosis_RFE	PA	0.45714286	0.5	0.2	0.71428571	0.43333333
T1w_CE_Edema_RFE	HGB	0.42857143	0.5	0	0.85714286	0.20833333
T1w_CE_Whole_RFE	NC	0.42857143	0.5	0	0.85714286	0.20833333
T2w_Flair_Edema_Kbest	ET	0.42857143	0.5	0	0.85714286	0.20833333
T2w_Flair_Edema_Kbest	KN	0.42857143	0.5	0	0.85714286	0.20833333
T2w_Flair_Edema_RFE	GNB	0.42857143	0.5	0	0.85714286	0.20833333
T2w_Flair_Edema_RFE	QDA	0.42857143	0.5	0	0.85714286	0.20833333
T2w_Flair_Enhancing_Kbest	Ridge	0.42857143	0.5	0	0.85714286	0.20833333
T2w_Flair_Enhancing_Kbest	LDA	0.42857143	0.5	0	0.85714286	0.20833333
T2w_Flair_Enhancing_Kbest	LR	0.42857143	0.5	0	0.85714286	0.20833333
T2w_Flair_Enhancing_Kbest	Ridge	0.42857143	0.5	0	0.85714286	0.20833333
T2w_Flair_Enhancing_mRmR	GNB	0.42857143	0.5	0	0.85714286	0.20833333
T2w_Flair_Enhancing_mRmR	LDA	0.42857143	0.5	0	0.85714286	0.20833333
T2w_Flair_Enhancing_mRmR	LR	0.42857143	0.5	0	0.85714286	0.20833333
T2w_Flair_Enhancing_mRmR	MLPC	0.42857143	0.5	0	0.85714286	0.20833333
T2w_Flair_Enhancing_mRmR	QDA	0.42857143	0.5	0	0.85714286	0.20833333
T2w_Flair_Enhancing_mRmR	Ridge	0.42857143	0.5	0	0.85714286	0.20833333
T2w_Flair_Enhancing_RFE	GNB	0.42857143	0.5	0	0.85714286	0.20833333
T2w_Flair_Enhancing_RFE	NC	0.42857143	0.5	0	0.85714286	0.20833333
T2w_Flair_Enhancing_RFE	QDA	0.42857143	0.5	0	0.85714286	0.20833333
T2w_Flair_Whole_RFE	LDA	0.42857143	0.5	0	0.85714286	0.20833333
T2w_Flair_Whole_RFE	LR	0.42857143	0.5	0	0.85714286	0.20833333
T2w_Flair_Whole_RFE	NC	0.42857143	0.5	0	0.85714286	0.20833333
T2w_Flair_Whole_RFE	Ridge	0.42857143	0.5	0	0.85714286	0.20833333
T1w_CE_Necrosis_mRmR	DT	0.41428571	0.41666667	0.4	0.42857143	0.49166667
T1w_CE_Necrosis_RFE	AB	0.41428571	0.41666667	0.4	0.42857143	0.49166667
T1w_CE_Whole_mRmR	AB	0.41428571	0.41666667	0.4	0.42857143	0.49166667
T1w_CE_Edema_Kbest	Bagging	0.31428571	0.33333333	0.2	0.42857143	0.36666667

T1w_CE_Necrosis_RFE	GNB	0.3	0.25	0.6	0	0.53333333
T1w_CE_Necrosis_RFE	NC	0.27142857	0.25	0.4	0.14285714	0.45
T1w_CE_Edema_Kbest	DT	0.17142857	0.16666667	0.2	0.14285714	0.33809524
T1w_CE_Edema_Kbest	ET	0.17142857	0.16666667	0.2	0.14285714	0.33809524
T1w_CE_Edema_Kbest	RF	0.17142857	0.16666667	0.2	0.14285714	0.33809524

Table S3. The complete result of multi-machine learning algorithms, feature selection, and multi-segmentation approaches in discriminating IDH-mutant grade-4 astrocytomas from IDH wild-type GBMs of original data.

Approach	ML	AUC	ACC	SEN	SPE	PR_AUC
Or_T1w_CE_Core_Kbest	AB	0.92857143	0.91666667	1	0.85714286	0.91666667
Or_T1w_CE_Core_Kbest	KN	0.92857143	0.91666667	1	0.85714286	0.91666667
Or_T1w_CE_Core_RFE	LR	0.92857143	0.91666667	1	0.85714286	0.91666667
Or_T1w_CE_Core_RFE	MLPC	0.92857143	0.91666667	1	0.85714286	0.91666667
Or_T1w_CE_Core_RFE	SVC	0.92857143	0.91666667	1	0.85714286	0.91666667
Or_T1w_CE_Core_RFE	HGB	0.92857143	0.91666667	1	0.85714286	0.91666667
Or_T1w_CE_Core_RFE	HGB	0.92857143	0.91666667	1	0.85714286	0.91666667
Or_T1w_CE_Core_RFE	LDA	0.92857143	0.91666667	1	0.85714286	0.91666667
Or_T1w_CE_Core_RFE	MLPC	0.92857143	0.91666667	1	0.85714286	0.91666667
Or_T1w_CE_Core_RFE	DT	0.92857143	0.91666667	1	0.85714286	0.91666667
Or_T1w_CE_Core_RFE	DT	0.92857143	0.91666667	1	0.85714286	0.91666667
Or_T1w_CE_Core_RFE	GB	0.92857143	0.91666667	1	0.85714286	0.91666667
Or_T1w_CE_Core_RFE	RF	0.92857143	0.91666667	1	0.85714286	0.91666667
Or_T1w_CE_Core_RFE	RF	0.92857143	0.91666667	1	0.85714286	0.91666667
Or_T1w_CE_Core_RFE	Bagging	0.92857143	0.91666667	1	0.85714286	0.91666667
Or_T1w_CE_Core_RFE	ET	0.92857143	0.91666667	1	0.85714286	0.91666667
Or_T1w_CE_Core_RFE	GNB	0.92857143	0.91666667	1	0.85714286	0.91666667
Or_T1w_CE_Core_RFE	GB	0.92857143	0.91666667	1	0.85714286	0.91666667
Or_T1w_CE_Core_RFE	KN	0.92857143	0.91666667	1	0.85714286	0.91666667
Or_T1w_CE_Core_RFE	MLPC	0.92857143	0.91666667	1	0.85714286	0.91666667
Or_T1w_CE_Core_mRmR	NC	0.92857143	0.91666667	1	0.85714286	0.91666667
Or_T1w_CE_Core_mRmR	PA	0.92857143	0.91666667	1	0.85714286	0.91666667
Or_T1w_CE_Core_mRmR	QDA	0.92857143	0.91666667	1	0.85714286	0.91666667
Or_T1w_CE_Core_mRmR	RF	0.92857143	0.91666667	1	0.85714286	0.91666667
Or_T1w_CE_Core_mRmR	Bagging	0.9	0.91666667	0.8	1	0.94166667
Or_T1w_CE_Core_mRmR	DT	0.9	0.91666667	0.8	1	0.94166667
Or_T1w_CE_Core_mRmR	GB	0.9	0.91666667	0.8	1	0.94166667
Or_T1w_CE_Core_mRmR	HGB	0.9	0.91666667	0.8	1	0.94166667
Or_T1w_CE_Core_mRmR	PA	0.9	0.91666667	0.8	1	0.94166667

Or_T1w_CE_Core_mRmR	Ridge	0.9	0.91666667	0.8	1	0.94166667
Or_T1w_CE_Core_mRmR	AB	0.9	0.91666667	0.8	1	0.94166667
Or_T1w_CE_Core_mRmR	Bagging	0.9	0.91666667	0.8	1	0.94166667
Or_T1w_CE_Core_mRmR	DT	0.9	0.91666667	0.8	1	0.94166667
Or_T1w_CE_Core_mRmR	ET	0.9	0.91666667	0.8	1	0.94166667
Or_T1w_CE_Core_mRmR	GB	0.9	0.91666667	0.8	1	0.94166667
Or_T1w_CE_Core_mRmR	HGB	0.9	0.91666667	0.8	1	0.94166667
Or_T1w_CE_Core_mRmR	LDA	0.9	0.91666667	0.8	1	0.94166667
Or_T1w_CE_Core_mRmR	PA	0.9	0.91666667	0.8	1	0.94166667
Or_T1w_CE_Edema_Kbest	RF	0.9	0.91666667	0.8	1	0.94166667
Or_T1w_CE_Edema_Kbest	Ridge	0.9	0.91666667	0.8	1	0.94166667
Or_T1w_CE_Edema_Kbest	AB	0.9	0.91666667	0.8	1	0.94166667
Or_T1w_CE_Edema_Kbest	Bagging	0.9	0.91666667	0.8	1	0.94166667
Or_T1w_CE_Edema_Kbest	DT	0.9	0.91666667	0.8	1	0.94166667
Or_T1w_CE_Edema_Kbest	GB	0.9	0.91666667	0.8	1	0.94166667
Or_T1w_CE_Edema_Kbest	HGB	0.9	0.91666667	0.8	1	0.94166667
Or_T1w_CE_Edema_Kbest	PA	0.9	0.91666667	0.8	1	0.94166667
Or_T1w_CE_Edema_Kbest	Ridge	0.9	0.91666667	0.8	1	0.94166667
Or_T1w_CE_Edema_Kbest	AB	0.9	0.91666667	0.8	1	0.94166667
Or_T1w_CE_Edema_Kbest	Bagging	0.9	0.91666667	0.8	1	0.94166667
Or_T1w_CE_Edema_Kbest	DT	0.9	0.91666667	0.8	1	0.94166667
Or_T1w_CE_Edema_Kbest	ET	0.9	0.91666667	0.8	1	0.94166667
Or_T1w_CE_Edema_Kbest	GNB	0.9	0.91666667	0.8	1	0.94166667
Or_T1w_CE_Edema_Kbest	GB	0.9	0.91666667	0.8	1	0.94166667
Or_T1w_CE_Edema_Kbest	KN	0.9	0.91666667	0.8	1	0.94166667
Or_T1w_CE_Edema_Kbest	LDA	0.9	0.91666667	0.8	1	0.94166667
Or_T1w_CE_Edema_Kbest	MLPC	0.9	0.91666667	0.8	1	0.94166667
Or_T1w_CE_Edema_RFE	NC	0.9	0.91666667	0.8	1	0.94166667
Or_T1w_CE_Edema_RFE	PA	0.9	0.91666667	0.8	1	0.94166667
Or_T1w_CE_Edema_RFE	QDA	0.9	0.91666667	0.8	1	0.94166667
Or_T1w_CE_Edema_RFE	RF	0.9	0.91666667	0.8	1	0.94166667
Or_T1w_CE_Edema_RFE	Ridge	0.9	0.91666667	0.8	1	0.94166667
Or_T1w_CE_Edema_RFE	SVC	0.9	0.91666667	0.8	1	0.94166667
Or_T1w_CE_Edema_RFE	AB	0.9	0.91666667	0.8	1	0.94166667
Or_T1w_CE_Edema_RFE	Bagging	0.9	0.91666667	0.8	1	0.94166667
Or_T1w_CE_Edema_RFE	DT	0.9	0.91666667	0.8	1	0.94166667
Or_T1w_CE_Edema_RFE	ET	0.9	0.91666667	0.8	1	0.94166667
Or_T1w_CE_Edema_RFE	GNB	0.9	0.91666667	0.8	1	0.94166667
Or_T1w_CE_Edema_RFE	GB	0.9	0.91666667	0.8	1	0.94166667
Or_T1w_CE_Edema_RFE	KN	0.9	0.91666667	0.8	1	0.94166667
Or_T1w_CE_Edema_RFE	LDA	0.9	0.91666667	0.8	1	0.94166667
Or_T1w_CE_Edema_RFE	MLPC	0.9	0.91666667	0.8	1	0.94166667
Or_T1w_CE_Edema_RFE	NC	0.9	0.91666667	0.8	1	0.94166667
Or_T1w_CE_Edema_RFE	PA	0.9	0.91666667	0.8	1	0.94166667

Or_T1w_CE_Edema_RFE	QDA	0.9	0.91666667	0.8	1	0.94166667
Or_T1w_CE_Edema_mRmR	RF	0.9	0.91666667	0.8	1	0.94166667
Or_T1w_CE_Edema_mRmR	Ridge	0.9	0.91666667	0.8	1	0.94166667
Or_T1w_CE_Edema_mRmR	SVC	0.9	0.91666667	0.8	1	0.94166667
Or_T1w_CE_Edema_mRmR	AB	0.9	0.91666667	0.8	1	0.94166667
Or_T1w_CE_Edema_mRmR	DT	0.9	0.91666667	0.8	1	0.94166667
Or_T1w_CE_Edema_mRmR	ET	0.9	0.91666667	0.8	1	0.94166667
Or_T1w_CE_Edema_mRmR	GNB	0.9	0.91666667	0.8	1	0.94166667
Or_T1w_CE_Edema_mRmR	GB	0.9	0.91666667	0.8	1	0.94166667
Or_T1w_CE_Edema_mRmR	MLPC	0.9	0.91666667	0.8	1	0.94166667
Or_T1w_CE_Edema_mRmR	NC	0.9	0.91666667	0.8	1	0.94166667
Or_T1w_CE_Edema_mRmR	PA	0.9	0.91666667	0.8	1	0.94166667
Or_T1w_CE_Edema_mRmR	QDA	0.9	0.91666667	0.8	1	0.94166667
Or_T1w_CE_Edema_mRmR	RF	0.9	0.91666667	0.8	1	0.94166667
Or_T1w_CE_Edema_mRmR	SVC	0.9	0.91666667	0.8	1	0.94166667
Or_T1w_CE_Edema_mRmR	DT	0.9	0.91666667	0.8	1	0.94166667
Or_T1w_CE_Edema_mRmR	ET	0.9	0.91666667	0.8	1	0.94166667
Or_T1w_CE_Edema_mRmR	LDA	0.9	0.91666667	0.8	1	0.94166667
Or_T1w_CE_Edema_mRmR	PA	0.9	0.91666667	0.8	1	0.94166667
Or_T1w_CE_Enhancing_Kbest	QDA	0.9	0.91666667	0.8	1	0.94166667
Or_T1w_CE_Enhancing_Kbest	RF	0.9	0.91666667	0.8	1	0.94166667
Or_T1w_CE_Enhancing_Kbest	Ridge	0.9	0.91666667	0.8	1	0.94166667
Or_T1w_CE_Enhancing_Kbest	AB	0.9	0.91666667	0.8	1	0.94166667
Or_T1w_CE_Enhancing_Kbest	Bagging	0.9	0.91666667	0.8	1	0.94166667
Or_T1w_CE_Enhancing_Kbest	DT	0.9	0.91666667	0.8	1	0.94166667
Or_T1w_CE_Enhancing_Kbest	ET	0.9	0.91666667	0.8	1	0.94166667
Or_T1w_CE_Enhancing_Kbest	GNB	0.9	0.91666667	0.8	1	0.94166667
Or_T1w_CE_Enhancing_Kbest	GB	0.9	0.91666667	0.8	1	0.94166667
Or_T1w_CE_Enhancing_Kbest	KN	0.9	0.91666667	0.8	1	0.94166667
Or_T1w_CE_Enhancing_Kbest	LDA	0.9	0.91666667	0.8	1	0.94166667
Or_T1w_CE_Enhancing_Kbest	LR	0.9	0.91666667	0.8	1	0.94166667
Or_T1w_CE_Enhancing_Kbest	MLPC	0.9	0.91666667	0.8	1	0.94166667
Or_T1w_CE_Enhancing_Kbest	PA	0.9	0.91666667	0.8	1	0.94166667
Or_T1w_CE_Enhancing_Kbest	QDA	0.9	0.91666667	0.8	1	0.94166667
Or_T1w_CE_Enhancing_Kbest	RF	0.9	0.91666667	0.8	1	0.94166667
Or_T1w_CE_Enhancing_Kbest	Ridge	0.9	0.91666667	0.8	1	0.94166667
Or_T1w_CE_Enhancing_Kbest	SVC	0.9	0.91666667	0.8	1	0.94166667
Or_T1w_CE_Enhancing_RFE	AB	0.9	0.91666667	0.8	1	0.94166667
Or_T1w_CE_Enhancing_RFE	Bagging	0.9	0.91666667	0.8	1	0.94166667
Or_T1w_CE_Enhancing_RFE	DT	0.9	0.91666667	0.8	1	0.94166667
Or_T1w_CE_Enhancing_RFE	ET	0.9	0.91666667	0.8	1	0.94166667
Or_T1w_CE_Enhancing_RFE	GNB	0.9	0.91666667	0.8	1	0.94166667
Or_T1w_CE_Enhancing_RFE	GB	0.9	0.91666667	0.8	1	0.94166667
Or_T1w_CE_Enhancing_RFE	KN	0.9	0.91666667	0.8	1	0.94166667

Or_T1w_CE_Enhancing_RFE	MLPC	0.9	0.91666667	0.8	1	0.94166667
Or_T1w_CE_Enhancing_RFE	QDA	0.9	0.91666667	0.8	1	0.94166667
Or_T1w_CE_Enhancing_RFE	RF	0.9	0.91666667	0.8	1	0.94166667
Or_T1w_CE_Enhancing_RFE	Ridge	0.9	0.91666667	0.8	1	0.94166667
Or_T1w_CE_Enhancing_RFE	SVC	0.9	0.91666667	0.8	1	0.94166667
Or_T1w_CE_Enhancing_RFE	AB	0.9	0.91666667	0.8	1	0.94166667
Or_T1w_CE_Enhancing_RFE	DT	0.9	0.91666667	0.8	1	0.94166667
Or_T1w_CE_Enhancing_RFE	GB	0.9	0.91666667	0.8	1	0.94166667
Or_T1w_CE_Enhancing_RFE	HGB	0.9	0.91666667	0.8	1	0.94166667
Or_T1w_CE_Enhancing_RFE	AB	0.9	0.91666667	0.8	1	0.94166667
Or_T1w_CE_Enhancing_RFE	DT	0.9	0.91666667	0.8	1	0.94166667
Or_T1w_CE_Enhancing_mRmR	GNB	0.9	0.91666667	0.8	1	0.94166667
Or_T1w_CE_Enhancing_mRmR	LDA	0.9	0.91666667	0.8	1	0.94166667
Or_T1w_CE_Enhancing_mRmR	MLPC	0.9	0.91666667	0.8	1	0.94166667
Or_T1w_CE_Enhancing_mRmR	PA	0.9	0.91666667	0.8	1	0.94166667
Or_T1w_CE_Enhancing_mRmR	QDA	0.9	0.91666667	0.8	1	0.94166667
Or_T1w_CE_Enhancing_mRmR	SVC	0.9	0.91666667	0.8	1	0.94166667
Or_T1w_CE_Enhancing_mRmR	HGB	0.9	0.91666667	0.8	1	0.94166667
Or_T1w_CE_Enhancing_mRmR	PA	0.9	0.91666667	0.8	1	0.94166667
Or_T1w_CE_Enhancing_mRmR	Bagging	0.9	0.91666667	0.8	1	0.94166667
Or_T1w_CE_Enhancing_mRmR	DT	0.9	0.91666667	0.8	1	0.94166667
Or_T1w_CE_Enhancing_mRmR	GB	0.9	0.91666667	0.8	1	0.94166667
Or_T1w_CE_Enhancing_mRmR	Bagging	0.9	0.91666667	0.8	1	0.94166667
Or_T1w_CE_Enhancing_mRmR	HGB	0.9	0.91666667	0.8	1	0.94166667
Or_T1w_CE_Enhancing_mRmR	RF	0.9	0.91666667	0.8	1	0.94166667
Or_T1w_CE_Enhancing_mRmR	DT	0.9	0.91666667	0.8	1	0.94166667
Or_T1w_CE_Enhancing_mRmR	ET	0.9	0.91666667	0.8	1	0.94166667
Or_T1w_CE_Enhancing_mRmR	LDA	0.9	0.91666667	0.8	1	0.94166667
Or_T1w_CE_Enhancing_mRmR	RF	0.9	0.91666667	0.8	1	0.94166667
Or_T1w_CE_Necrosis_Kbest	NC	0.85714286	0.83333333	1	0.71428571	0.85714286
Or_T1w_CE_Necrosis_Kbest	QDA	0.85714286	0.83333333	1	0.71428571	0.85714286
Or_T1w_CE_Necrosis_Kbest	PA	0.85714286	0.83333333	1	0.71428571	0.85714286
Or_T1w_CE_Necrosis_Kbest	GB	0.85714286	0.83333333	1	0.71428571	0.85714286
Or_T1w_CE_Necrosis_Kbest	KN	0.82857143	0.83333333	0.8	0.85714286	0.84166667
Or_T1w_CE_Necrosis_Kbest	Bagging	0.82857143	0.83333333	0.8	0.85714286	0.84166667
Or_T1w_CE_Necrosis_Kbest	LDA	0.82857143	0.83333333	0.8	0.85714286	0.84166667
Or_T1w_CE_Necrosis_Kbest	NC	0.82857143	0.83333333	0.8	0.85714286	0.84166667
Or_T1w_CE_Necrosis_Kbest	GNB	0.82857143	0.83333333	0.8	0.85714286	0.84166667
Or_T1w_CE_Necrosis_Kbest	KN	0.82857143	0.83333333	0.8	0.85714286	0.84166667
Or_T1w_CE_Necrosis_Kbest	NC	0.82857143	0.83333333	0.8	0.85714286	0.84166667
Or_T1w_CE_Necrosis_Kbest	PA	0.82857143	0.83333333	0.8	0.85714286	0.84166667
Or_T1w_CE_Necrosis_Kbest	QDA	0.82857143	0.83333333	0.8	0.85714286	0.84166667
Or_T1w_CE_Necrosis_Kbest	SVC	0.82857143	0.83333333	0.8	0.85714286	0.84166667
Or_T1w_CE_Necrosis_Kbest	AB	0.82857143	0.83333333	0.8	0.85714286	0.84166667

Or_T1w_CE_Whole_mRmR	ET	0.82857143	0.83333333	0.8	0.85714286	0.84166667
Or_T1w_CE_Whole_mRmR	QDA	0.82857143	0.83333333	0.8	0.85714286	0.84166667
Or_T1w_CE_Whole_mRmR	KN	0.8	0.83333333	0.6	1	0.88333333
Or_T1w_CE_Whole_mRmR	LDA	0.8	0.83333333	0.6	1	0.88333333
Or_T1w_CE_Whole_mRmR	Ridge	0.8	0.83333333	0.6	1	0.88333333
Or_T2w_Flair_Core_Kbest	KN	0.8	0.83333333	0.6	1	0.88333333
Or_T2w_Flair_Core_Kbest	LR	0.8	0.83333333	0.6	1	0.88333333
Or_T2w_Flair_Core_Kbest	MLPC	0.8	0.83333333	0.6	1	0.88333333
Or_T2w_Flair_Core_Kbest	ET	0.8	0.83333333	0.6	1	0.88333333
Or_T2w_Flair_Core_Kbest	GB	0.8	0.83333333	0.6	1	0.88333333
Or_T2w_Flair_Core_Kbest	MLPC	0.8	0.83333333	0.6	1	0.88333333
Or_T2w_Flair_Core_Kbest	RF	0.8	0.83333333	0.6	1	0.88333333
Or_T2w_Flair_Core_Kbest	Bagging	0.8	0.83333333	0.6	1	0.88333333
Or_T2w_Flair_Core_Kbest	ET	0.8	0.83333333	0.6	1	0.88333333
Or_T2w_Flair_Core_Kbest	GNB	0.8	0.83333333	0.6	1	0.88333333
Or_T2w_Flair_Core_Kbest	NC	0.8	0.83333333	0.6	1	0.88333333
Or_T2w_Flair_Core_Kbest	QDA	0.8	0.83333333	0.6	1	0.88333333
Or_T2w_Flair_Core_Kbest	RF	0.8	0.83333333	0.6	1	0.88333333
Or_T2w_Flair_Core_Kbest	Bagging	0.8	0.83333333	0.6	1	0.88333333
Or_T2w_Flair_Core_Kbest	ET	0.8	0.83333333	0.6	1	0.88333333
Or_T2w_Flair_Core_Kbest	GB	0.8	0.83333333	0.6	1	0.88333333
Or_T2w_Flair_Core_Kbest	KN	0.8	0.83333333	0.6	1	0.88333333
Or_T2w_Flair_Core_Kbest	NC	0.8	0.83333333	0.6	1	0.88333333
Or_T2w_Flair_Core_RFE	RF	0.8	0.83333333	0.6	1	0.88333333
Or_T2w_Flair_Core_RFE	Bagging	0.8	0.83333333	0.6	1	0.88333333
Or_T2w_Flair_Core_RFE	HGB	0.8	0.83333333	0.6	1	0.88333333
Or_T2w_Flair_Core_RFE	MLPC	0.8	0.83333333	0.6	1	0.88333333
Or_T2w_Flair_Core_RFE	Ridge	0.8	0.83333333	0.6	1	0.88333333
Or_T2w_Flair_Core_RFE	NC	0.8	0.83333333	0.6	1	0.88333333
Or_T2w_Flair_Core_RFE	RF	0.8	0.83333333	0.6	1	0.88333333
Or_T2w_Flair_Core_RFE	DT	0.8	0.83333333	0.6	1	0.88333333
Or_T2w_Flair_Core_RFE	LDA	0.8	0.83333333	0.6	1	0.88333333
Or_T2w_Flair_Core_RFE	AB	0.8	0.83333333	0.6	1	0.88333333
Or_T2w_Flair_Core_RFE	Bagging	0.8	0.83333333	0.6	1	0.88333333
Or_T2w_Flair_Core_RFE	GB	0.8	0.83333333	0.6	1	0.88333333
Or_T2w_Flair_Core_RFE	HGB	0.8	0.83333333	0.6	1	0.88333333
Or_T2w_Flair_Core_RFE	KN	0.8	0.83333333	0.6	1	0.88333333
Or_T2w_Flair_Core_RFE	MLPC	0.8	0.83333333	0.6	1	0.88333333
Or_T2w_Flair_Core_RFE	PA	0.8	0.83333333	0.6	1	0.88333333
Or_T2w_Flair_Core_RFE	SVC	0.8	0.83333333	0.6	1	0.88333333
Or_T2w_Flair_Core_RFE	GNB	0.78571429	0.75	1	0.57142857	0.8125
Or_T2w_Flair_Core_mRmR	GNB	0.78571429	0.75	1	0.57142857	0.8125
Or_T2w_Flair_Core_mRmR	HGB	0.78571429	0.75	1	0.57142857	0.8125
Or_T2w_Flair_Core_mRmR	HGB	0.78571429	0.75	1	0.57142857	0.8125

Or_T2w_Flair_Core_mRmR	SVC	0.78571429	0.75	1	0.57142857	0.8125
Or_T2w_Flair_Core_mRmR	DT	0.75714286	0.75	0.8	0.71428571	0.775
Or_T2w_Flair_Core_mRmR	GB	0.75714286	0.75	0.8	0.71428571	0.775
Or_T2w_Flair_Core_mRmR	Ridge	0.75714286	0.75	0.8	0.71428571	0.775
Or_T2w_Flair_Core_mRmR	DT	0.75714286	0.75	0.8	0.71428571	0.775
Or_T2w_Flair_Core_mRmR	KN	0.75714286	0.75	0.8	0.71428571	0.775
Or_T2w_Flair_Core_mRmR	HGB	0.75714286	0.75	0.8	0.71428571	0.775
Or_T2w_Flair_Core_mRmR	HGB	0.75714286	0.75	0.8	0.71428571	0.775
Or_T2w_Flair_Core_mRmR	GNB	0.75714286	0.75	0.8	0.71428571	0.775
Or_T2w_Flair_Core_mRmR	HGB	0.72857143	0.75	0.6	0.85714286	0.75833333
Or_T2w_Flair_Core_mRmR	HGB	0.72857143	0.75	0.6	0.85714286	0.75833333
Or_T2w_Flair_Core_mRmR	LR	0.72857143	0.75	0.6	0.85714286	0.75833333
Or_T2w_Flair_Core_mRmR	Ridge	0.72857143	0.75	0.6	0.85714286	0.75833333
Or_T2w_Flair_Core_mRmR	SVC	0.72857143	0.75	0.6	0.85714286	0.75833333
Or_T2w_Flair_Core_mRmR	AB	0.72857143	0.75	0.6	0.85714286	0.75833333
Or_T2w_Flair_Edema_Kbest	Bagging	0.72857143	0.75	0.6	0.85714286	0.75833333
Or_T2w_Flair_Edema_Kbest	DT	0.72857143	0.75	0.6	0.85714286	0.75833333
Or_T2w_Flair_Edema_Kbest	HGB	0.72857143	0.75	0.6	0.85714286	0.75833333
Or_T2w_Flair_Edema_Kbest	LR	0.72857143	0.75	0.6	0.85714286	0.75833333
Or_T2w_Flair_Edema_Kbest	PA	0.72857143	0.75	0.6	0.85714286	0.75833333
Or_T2w_Flair_Edema_Kbest	LR	0.72857143	0.75	0.6	0.85714286	0.75833333
Or_T2w_Flair_Edema_Kbest	AB	0.72857143	0.75	0.6	0.85714286	0.75833333
Or_T2w_Flair_Edema_Kbest	DT	0.72857143	0.75	0.6	0.85714286	0.75833333
Or_T2w_Flair_Edema_Kbest	HGB	0.72857143	0.75	0.6	0.85714286	0.75833333
Or_T2w_Flair_Edema_Kbest	LDA	0.72857143	0.75	0.6	0.85714286	0.75833333
Or_T2w_Flair_Edema_Kbest	QDA	0.72857143	0.75	0.6	0.85714286	0.75833333
Or_T2w_Flair_Edema_Kbest	Ridge	0.72857143	0.75	0.6	0.85714286	0.75833333
Or_T2w_Flair_Edema_Kbest	SVC	0.72857143	0.75	0.6	0.85714286	0.75833333
Or_T2w_Flair_Edema_Kbest	AB	0.72857143	0.75	0.6	0.85714286	0.75833333
Or_T2w_Flair_Edema_Kbest	GNB	0.72857143	0.75	0.6	0.85714286	0.75833333
Or_T2w_Flair_Edema_Kbest	KN	0.72857143	0.75	0.6	0.85714286	0.75833333
Or_T2w_Flair_Edema_Kbest	LDA	0.72857143	0.75	0.6	0.85714286	0.75833333
Or_T2w_Flair_Edema_Kbest	MLPC	0.72857143	0.75	0.6	0.85714286	0.75833333
Or_T2w_Flair_Edema_RFE	QDA	0.72857143	0.75	0.6	0.85714286	0.75833333
Or_T2w_Flair_Edema_RFE	HGB	0.72857143	0.75	0.6	0.85714286	0.75833333
Or_T2w_Flair_Edema_RFE	KN	0.72857143	0.75	0.6	0.85714286	0.75833333
Or_T2w_Flair_Edema_RFE	LDA	0.72857143	0.75	0.6	0.85714286	0.75833333
Or_T2w_Flair_Edema_RFE	MLPC	0.72857143	0.75	0.6	0.85714286	0.75833333
Or_T2w_Flair_Edema_RFE	PA	0.72857143	0.75	0.6	0.85714286	0.75833333
Or_T2w_Flair_Edema_RFE	QDA	0.72857143	0.75	0.6	0.85714286	0.75833333
Or_T2w_Flair_Edema_RFE	Ridge	0.72857143	0.75	0.6	0.85714286	0.75833333
Or_T2w_Flair_Edema_RFE	SVC	0.72857143	0.75	0.6	0.85714286	0.75833333
Or_T2w_Flair_Edema_RFE	LR	0.72857143	0.75	0.6	0.85714286	0.75833333
Or_T2w_Flair_Edema_RFE	LR	0.72857143	0.75	0.6	0.85714286	0.75833333

Or_T2w_Flair_Edema_RFE	AB	0.72857143	0.75	0.6	0.85714286	0.75833333
Or_T2w_Flair_Edema_RFE	KN	0.72857143	0.75	0.6	0.85714286	0.75833333
Or_T2w_Flair_Edema_RFE	NC	0.72857143	0.75	0.6	0.85714286	0.75833333
Or_T2w_Flair_Edema_RFE	QDA	0.72857143	0.75	0.6	0.85714286	0.75833333
Or_T2w_Flair_Edema_RFE	SVC	0.72857143	0.75	0.6	0.85714286	0.75833333
Or_T2w_Flair_Edema_RFE	NC	0.71428571	0.66666667	1	0.42857143	0.77777778
Or_T2w_Flair_Edema_RFE	NC	0.71428571	0.66666667	1	0.42857143	0.77777778
Or_T2w_Flair_Edema_mRmR	HGB	0.71428571	0.66666667	1	0.42857143	0.77777778
Or_T2w_Flair_Edema_mRmR	NC	0.71428571	0.66666667	1	0.42857143	0.77777778
Or_T2w_Flair_Edema_mRmR	LDA	0.7	0.75	0.4	1	0.825
Or_T2w_Flair_Edema_mRmR	LR	0.7	0.75	0.4	1	0.825
Or_T2w_Flair_Edema_mRmR	LR	0.7	0.75	0.4	1	0.825
Or_T2w_Flair_Edema_mRmR	LR	0.7	0.75	0.4	1	0.825
Or_T2w_Flair_Edema_mRmR	LR	0.7	0.75	0.4	1	0.825
Or_T2w_Flair_Edema_mRmR	AB	0.7	0.75	0.4	1	0.825
Or_T2w_Flair_Edema_mRmR	LR	0.7	0.75	0.4	1	0.825
Or_T2w_Flair_Edema_mRmR	PA	0.7	0.75	0.4	1	0.825
Or_T2w_Flair_Edema_mRmR	LDA	0.7	0.75	0.4	1	0.825
Or_T2w_Flair_Edema_mRmR	LDA	0.7	0.75	0.4	1	0.825
Or_T2w_Flair_Edema_mRmR	LR	0.7	0.75	0.4	1	0.825
Or_T2w_Flair_Edema_mRmR	Ridge	0.7	0.75	0.4	1	0.825
Or_T2w_Flair_Edema_mRmR	BNB	0.7	0.75	0.4	1	0.825
Or_T2w_Flair_Edema_mRmR	KN	0.7	0.75	0.4	1	0.825
Or_T2w_Flair_Edema_mRmR	LDA	0.7	0.75	0.4	1	0.825
Or_T2w_Flair_Edema_mRmR	MLPC	0.7	0.75	0.4	1	0.825
Or_T2w_Flair_Enhancing_Kbest	PA	0.7	0.75	0.4	1	0.825
Or_T2w_Flair_Enhancing_Kbest	Ridge	0.7	0.75	0.4	1	0.825
Or_T2w_Flair_Enhancing_Kbest	SVC	0.7	0.75	0.4	1	0.825
Or_T2w_Flair_Enhancing_Kbest	Ridge	0.7	0.75	0.4	1	0.825
Or_T2w_Flair_Enhancing_Kbest	PA	0.7	0.75	0.4	1	0.825
Or_T2w_Flair_Enhancing_Kbest	HGB	0.7	0.75	0.4	1	0.825
Or_T2w_Flair_Enhancing_Kbest	GB	0.7	0.75	0.4	1	0.825
Or_T2w_Flair_Enhancing_Kbest	PA	0.7	0.75	0.4	1	0.825
Or_T2w_Flair_Enhancing_Kbest	RF	0.7	0.75	0.4	1	0.825
Or_T2w_Flair_Enhancing_Kbest	GNB	0.7	0.75	0.4	1	0.825
Or_T2w_Flair_Enhancing_Kbest	QDA	0.7	0.75	0.4	1	0.825
Or_T2w_Flair_Enhancing_Kbest	ET	0.7	0.75	0.4	1	0.825
Or_T2w_Flair_Enhancing_Kbest	GB	0.7	0.75	0.4	1	0.825
Or_T2w_Flair_Enhancing_Kbest	HGB	0.7	0.75	0.4	1	0.825
Or_T2w_Flair_Enhancing_Kbest	LR	0.7	0.75	0.4	1	0.825
Or_T2w_Flair_Enhancing_Kbest	NC	0.7	0.75	0.4	1	0.825
Or_T2w_Flair_Enhancing_Kbest	RF	0.7	0.75	0.4	1	0.825
Or_T2w_Flair_Enhancing_Kbest	Ridge	0.7	0.75	0.4	1	0.825
Or_T2w_Flair_Enhancing_RFE	LDA	0.7	0.75	0.4	1	0.825

Or_T2w_Flair_Enhancing_RFE	LR	0.7	0.75	0.4	1	0.825
Or_T2w_Flair_Enhancing_RFE	Ridge	0.7	0.75	0.4	1	0.825
Or_T2w_Flair_Enhancing_RFE	HGB	0.68571429	0.66666667	0.8	0.57142857	0.72738095
Or_T2w_Flair_Enhancing_RFE	QDA	0.68571429	0.66666667	0.8	0.57142857	0.72738095
Or_T2w_Flair_Enhancing_RFE	QDA	0.68571429	0.66666667	0.8	0.57142857	0.72738095
Or_T2w_Flair_Enhancing_RFE	NC	0.68571429	0.66666667	0.8	0.57142857	0.72738095
Or_T2w_Flair_Enhancing_RFE	HGB	0.68571429	0.66666667	0.8	0.57142857	0.72738095
Or_T2w_Flair_Enhancing_RFE	HGB	0.68571429	0.66666667	0.8	0.57142857	0.72738095
Or_T2w_Flair_Enhancing_RFE	AB	0.65714286	0.66666667	0.6	0.71428571	0.68333333
Or_T2w_Flair_Enhancing_RFE	Bagging	0.65714286	0.66666667	0.6	0.71428571	0.68333333
Or_T2w_Flair_Enhancing_RFE	DT	0.65714286	0.66666667	0.6	0.71428571	0.68333333
Or_T2w_Flair_Enhancing_RFE	ET	0.65714286	0.66666667	0.6	0.71428571	0.68333333
Or_T2w_Flair_Enhancing_RFE	GNB	0.65714286	0.66666667	0.6	0.71428571	0.68333333
Or_T2w_Flair_Enhancing_RFE	GB	0.65714286	0.66666667	0.6	0.71428571	0.68333333
Or_T2w_Flair_Enhancing_RFE	KN	0.65714286	0.66666667	0.6	0.71428571	0.68333333
Or_T2w_Flair_Enhancing_mRmR	MLPC	0.65714286	0.66666667	0.6	0.71428571	0.68333333
Or_T2w_Flair_Enhancing_mRmR	PA	0.65714286	0.66666667	0.6	0.71428571	0.68333333
Or_T2w_Flair_Enhancing_mRmR	RF	0.65714286	0.66666667	0.6	0.71428571	0.68333333
Or_T2w_Flair_Enhancing_mRmR	ET	0.65714286	0.66666667	0.6	0.71428571	0.68333333
Or_T2w_Flair_Enhancing_mRmR	GNB	0.65714286	0.66666667	0.6	0.71428571	0.68333333
Or_T2w_Flair_Enhancing_mRmR	LR	0.65714286	0.66666667	0.6	0.71428571	0.68333333
Or_T2w_Flair_Enhancing_mRmR	ET	0.65714286	0.66666667	0.6	0.71428571	0.68333333
Or_T2w_Flair_Enhancing_mRmR	GNB	0.65714286	0.66666667	0.6	0.71428571	0.68333333
Or_T2w_Flair_Enhancing_mRmR	LR	0.65714286	0.66666667	0.6	0.71428571	0.68333333
Or_T2w_Flair_Enhancing_mRmR	RF	0.65714286	0.66666667	0.6	0.71428571	0.68333333
Or_T2w_Flair_Enhancing_mRmR	Ridge	0.65714286	0.66666667	0.6	0.71428571	0.68333333
Or_T2w_Flair_Enhancing_mRmR	SVC	0.65714286	0.66666667	0.6	0.71428571	0.68333333
Or_T2w_Flair_Enhancing_mRmR	AB	0.65714286	0.66666667	0.6	0.71428571	0.68333333
Or_T2w_Flair_Enhancing_mRmR	ET	0.65714286	0.66666667	0.6	0.71428571	0.68333333
Or_T2w_Flair_Enhancing_mRmR	HGB	0.65714286	0.66666667	0.6	0.71428571	0.68333333
Or_T2w_Flair_Enhancing_mRmR	RF	0.65714286	0.66666667	0.6	0.71428571	0.68333333
Or_T2w_Flair_Enhancing_mRmR	GNB	0.65714286	0.66666667	0.6	0.71428571	0.68333333
Or_T2w_Flair_Enhancing_mRmR	HGB	0.64285714	0.58333333	1	0.28571429	0.75
Or_T2w_Flair_Necrosis_Kbest	PA	0.64285714	0.58333333	1	0.28571429	0.75
Or_T2w_Flair_Enhancing_Kbest	LDA	0.62857143	0.66666667	0.4	0.85714286	0.65833333
Or_T2w_Flair_Enhancing_Kbest	DT	0.62857143	0.66666667	0.4	0.85714286	0.65833333
Or_T2w_Flair_Enhancing_Kbest	GNB	0.62857143	0.66666667	0.4	0.85714286	0.65833333
Or_T2w_Flair_Enhancing_Kbest	QDA	0.62857143	0.66666667	0.4	0.85714286	0.65833333
Or_T2w_Flair_Enhancing_Kbest	SVC	0.62857143	0.66666667	0.4	0.85714286	0.65833333
Or_T2w_Flair_Enhancing_Kbest	AB	0.62857143	0.66666667	0.4	0.85714286	0.65833333
Or_T2w_Flair_Enhancing_Kbest	KN	0.62857143	0.66666667	0.4	0.85714286	0.65833333
Or_T2w_Flair_Enhancing_Kbest	RF	0.62857143	0.66666667	0.4	0.85714286	0.65833333

Or_T2w_Flair_Enhancing_Kbest	KN	0.62857143	0.66666667	0.4	0.85714286	0.65833333
Or_T2w_Flair_Enhancing_Kbest	LR	0.62857143	0.66666667	0.4	0.85714286	0.65833333
Or_T2w_Flair_Enhancing_Kbest	MLPC	0.62857143	0.66666667	0.4	0.85714286	0.65833333
Or_T2w_Flair_Enhancing_Kbest	PA	0.62857143	0.66666667	0.4	0.85714286	0.65833333
Or_T2w_Flair_Enhancing_Kbest	Ridge	0.62857143	0.66666667	0.4	0.85714286	0.65833333
Or_T2w_Flair_Enhancing_Kbest	LR	0.62857143	0.66666667	0.4	0.85714286	0.65833333
Or_T2w_Flair_Enhancing_Kbest	AB	0.62857143	0.66666667	0.4	0.85714286	0.65833333
Or_T2w_Flair_Enhancing_Kbest	Bagging	0.62857143	0.66666667	0.4	0.85714286	0.65833333
Or_T2w_Flair_Enhancing_Kbest	KN	0.62857143	0.66666667	0.4	0.85714286	0.65833333
Or_T2w_Flair_Enhancing_RFE	MLPC	0.62857143	0.66666667	0.4	0.85714286	0.65833333
Or_T2w_Flair_Enhancing_RFE	PA	0.62857143	0.66666667	0.4	0.85714286	0.65833333
Or_T2w_Flair_Enhancing_RFE	SVC	0.62857143	0.66666667	0.4	0.85714286	0.65833333
Or_T2w_Flair_Enhancing_RFE	GNB	0.62857143	0.66666667	0.4	0.85714286	0.65833333
Or_T2w_Flair_Enhancing_RFE	GB	0.62857143	0.66666667	0.4	0.85714286	0.65833333
Or_T2w_Flair_Enhancing_RFE	LR	0.62857143	0.66666667	0.4	0.85714286	0.65833333
Or_T2w_Flair_Enhancing_RFE	MLPC	0.62857143	0.66666667	0.4	0.85714286	0.65833333
Or_T2w_Flair_Enhancing_RFE	Ridge	0.62857143	0.66666667	0.4	0.85714286	0.65833333
Or_T2w_Flair_Enhancing_RFE	NC	0.62857143	0.66666667	0.4	0.85714286	0.65833333
Or_T2w_Flair_Enhancing_RFE	AB	0.61428571	0.58333333	0.8	0.42857143	0.69166667
Or_T2w_Flair_Enhancing_RFE	Bagging	0.61428571	0.58333333	0.8	0.42857143	0.69166667
Or_T2w_Flair_Enhancing_RFE	DT	0.61428571	0.58333333	0.8	0.42857143	0.69166667
Or_T2w_Flair_Enhancing_RFE	Bagging	0.6	0.66666667	0.2	1	0.76666667
Or_T2w_Flair_Enhancing_RFE	GB	0.6	0.66666667	0.2	1	0.76666667
Or_T2w_Flair_Enhancing_RFE	BNB	0.6	0.66666667	0.2	1	0.76666667
Or_T2w_Flair_Enhancing_RFE	BNB	0.6	0.66666667	0.2	1	0.76666667
Or_T2w_Flair_Enhancing_RFE	LR	0.6	0.66666667	0.2	1	0.76666667
Or_T2w_Flair_Enhancing_RFE	HGB	0.6	0.66666667	0.2	1	0.76666667
Or_T2w_Flair_Enhancing_mRmR	ET	0.6	0.66666667	0.2	1	0.76666667
Or_T2w_Flair_Enhancing_mRmR	LDA	0.6	0.66666667	0.2	1	0.76666667
Or_T2w_Flair_Enhancing_mRmR	LR	0.6	0.66666667	0.2	1	0.76666667
Or_T2w_Flair_Enhancing_mRmR	MLPC	0.6	0.66666667	0.2	1	0.76666667
Or_T2w_Flair_Enhancing_mRmR	Ridge	0.6	0.66666667	0.2	1	0.76666667
Or_T2w_Flair_Enhancing_mRmR	SVC	0.6	0.66666667	0.2	1	0.76666667
Or_T2w_Flair_Enhancing_mRmR	BNB	0.6	0.66666667	0.2	1	0.76666667
Or_T2w_Flair_Enhancing_mRmR	BNB	0.6	0.66666667	0.2	1	0.76666667
Or_T2w_Flair_Enhancing_mRmR	BNB	0.6	0.66666667	0.2	1	0.76666667
Or_T2w_Flair_Enhancing_mRmR	BNB	0.6	0.66666667	0.2	1	0.76666667
Or_T2w_Flair_Enhancing_mRmR	NC	0.58571429	0.58333333	0.6	0.57142857	0.63333333
Or_T2w_Flair_Enhancing_mRmR	KN	0.58571429	0.58333333	0.6	0.57142857	0.63333333
Or_T2w_Flair_Enhancing_mRmR	Bagging	0.58571429	0.58333333	0.6	0.57142857	0.63333333
Or_T2w_Flair_Enhancing_mRmR	MLPC	0.58571429	0.58333333	0.6	0.57142857	0.63333333
Or_T2w_Flair_Enhancing_mRmR	NC	0.58571429	0.58333333	0.6	0.57142857	0.63333333
Or_T2w_Flair_Enhancing_mRmR	AB	0.58571429	0.58333333	0.6	0.57142857	0.63333333
Or_T2w_Flair_Enhancing_mRmR	GNB	0.58571429	0.58333333	0.6	0.57142857	0.63333333
Or_T2w_Flair_Enhancing_mRmR	PA	0.58571429	0.58333333	0.6	0.57142857	0.63333333

Or_T2w_Flair_Whole_mRmR	ET	0.45714286	0.5	0.2	0.71428571	0.43333333
Or_T2w_Flair_Whole_mRmR	RF	0.45714286	0.5	0.2	0.71428571	0.43333333
Or_T2w_Flair_Whole_mRmR	BNB	0.42857143	0.5	0	0.85714286	0.20833333
Or_T2w_Flair_Whole_mRmR	Bagging	0.42857143	0.5	0	0.85714286	0.20833333
Or_T2w_Flair_Whole_mRmR	GNB	0.42857143	0.5	0	0.85714286	0.20833333
Or_T2w_Flair_Whole_mRmR	GB	0.42857143	0.5	0	0.85714286	0.20833333
Or_T2w_Flair_Whole_mRmR	PA	0.42857143	0.5	0	0.85714286	0.20833333
Or_T2w_Flair_Whole_mRmR	PA	0.42857143	0.5	0	0.85714286	0.20833333
Or_T2w_Flair_Whole_mRmR	LR	0.42857143	0.5	0	0.85714286	0.20833333
Or_T2w_Flair_Whole_mRmR	GB	0.41428571	0.41666667	0.4	0.42857143	0.49166667
Or_T2w_Flair_Whole_mRmR	BNB	0.38571429	0.41666667	0.2	0.57142857	0.39166667